

"مساهمة سرعة الطرف العلوي في سرعة الطرف السفلي بالجسم خلال مراحل"

"أداء وكل الكرة من الثبات في كرة القدم"

م. عادل إبراهيم عمرو

في السنوات الأخيرة تمر كرة القدم المصرية بفترة حرجة، وهي من أهم الفترات في مستقبل الكرة المصرية، وذلك لتقدم الكرة الأفريقية والأوروبية والأمريكية وحتى العربية حققت تقدماً كبيراً في المستوى الفني والتنظيمي، وهذا التقدم كانت نتاج التخطيط والبحث، ويؤكد حنفى مختار (١٩٩٤م) أن مستوى الأداء في كرة القدم قد ارتفع بصورة واضحة. ولما كان التدريب عملية مخططة مبنية على أسس علمية، أصبح على مدربينا الإمام بها في تدريب فرقهم (١١ : ٩). ويعتبر التصويب هو الأساس الفعلى لهذه اللعبة ويمثل الحد الفاصل في تحديد نتيجة المباراة، حيث يذكر أحمد خاطر (١٩٧٩م) أن نسبة ضربات الكرة بالقدم (تصويب، تمرين) خلال المباراة تصل ٣٧,٥٪ من نسبة المهارات الأخرى (٢ : ٣٢).

ويضيف كلّ من نيك وآخرون Nick et al. (١٩٩٥م) وجونتر وكادو Gunter & Kadow (١٩٩٧م) أن التصويب هو الأساس الفعلى والكلى للعبة وأنه لشىء أساسى أن يكون جميع اللاعبين قادرين على تنفيذ الأنواع الأساسية للتصويب. (٥٥ : ٢٩)، (٧٨ : ٢٢)

ويتفق كلّ من لوى الصميدعى (١٩٩٠م) وزهير الخشاب وآخرون (١٩٩٠)، إبراهيم مجدى صالح (١٩٩٩م) إلى الوسائل المتعددة لمحاولات تسجيل الإصابة فى مرمى الخصم، لذا نرى الأكثر استعمالاً هو ضرب الكرة بالرجلين وتشكل ٨٣,٠٪ من مجموع الضربات. (٣٥ : ١٩)، (٣٠ : ١)، (١٦٠ : ١٣)

ويوضح عمرو أبو المجد (١٩٩٦م) تعد الضربة بالقدم أقوى أنواع الضربات والأكثر فاعلية وهناك ارتباط بين دقة وقوّة الضربة وبين مكان وضع قدم الارتكاز. (١١ : ١٩٢)

ويذكر كلاً من لؤي الصميدعى (١٩٩٠م)، ولهير الخشاب وأخرون (١٩٩٠م)، ومحمد رضا الوقاد (١٩٩٣م)، وعمرو أبو المجد (١٩٩٦م)، وجون John (١٩٩٦م)، وديفيد David (١٩٩٧م)، ومالكوم Malcolm (١٩٩٩م)، وأمر الله البساطى (١٩٩٩م) أن التصويب يعتبر الحد الفاصل في تحديد نتيجة المباراة، لأن جميع مكونات اللعبة الخططية تصبح عديمة الجدوى إذا لم تنتهي بالتصويب على المرمى. (١٣ : ١٦٠)، (١٩ : ١٧٠)، (٢٨ : ١٩٢)، (١٧١ : ١٧)، (١١ : ١٨١)، (٢٥ : ١٠٧)، (٢١ : ١٩٢)، (١٩٢ : ٢٨)

ويشير جمال علاء الدين (٢٠٠٠م) أن الخصائص الكينماتيكية تتيح إمكانية مقارنة مقاييس وأبعاد الجسم ووصلاته وكذا الخواص الكينماتيكية للحركات المختلفة (٥ : ١٣)، ويضيف بسطويسي أحمد (١٩٩٦م) أن الانتقال الحركى خاصية من الخصائص التقويمية للحركة التي يجب على المدرب واللاعب معرفتها وأن النقل الحركى هو تآزر حركى بين مجموعات عضلية وأخرى بغرض تحقيق الهدف المنشود للأداء. (٤ : ٢١٦)

ويؤكد محمود أبو العينين (١٩٨٩م) أن العاملين في مجال تدريب المهارات الحركية المرتبطة بالأنشطة الرياضية اهتموا بدراسة العوامل المؤثرة بطريقة مباشرة أو غير مباشرة في الأداء الحركي سواء كانت بيولوجية، فسيولوجية، تشريحية، ميكانيكية لتجمیع مادة نظرية توضح العلاقات المتداخلة ومدى ارتباطها ببعضها. (١٨ : ٧٩)

لذا يجب على اللاعب والمدرب فهم أساسيات التصويب بمعرفة ميكانيكية كل منها، لأن دراسة تكنيك سرعة ودقة وقوة الضربة في كرة القدم عملية معقدة تحتاج إلى تفاعل جيد ونقل حركى للقوة العضلية، ولأن لم تتعرض دراسة في كرة القدم إلى النقل الحركى للأداء الحركى في مهارات كرة القدم، قام الباحث بتحليل مهارة ركل الكرة بالقدم من الثبات (التصويب على المرمى) من حيث النقل الحركى لأدائها للوصول إلى تصميم من الناحية الميكانيكية يساعد على ترشيد عملية التعلم والتدريب لتحسين الأداء الحركى والتقدير بمستوى اللاعبين لإنجاز أفضل النتائج، لأن المعلومات البصرية المتميزة بالطابع الذاتى والتي يحصل عليها المدرب من خلال ملاحظته للأداء الحركى للمهارة لا تكفى في حد ذاتها من أجل معلومة موضوعية عن الخصائص الواقعية وتوافقاتها، وعن تعاقب تغير أوضاع الجسم والإيقاع الزمني لاشتراك وانسحاب وصلات الجسم البيوميكانيكية.

هدف البحث :

- ١- التوصيف الكينماتيكي لحركة كل من الطرف العلوي والسفلي بالجسم خلال مراحل أداء مهارة ركل الكرة من الثبات (التصويب بوجه القدم الأمامي) في كرة القدم.
- ٢- التعرف على نسبة مساهمة سرعة الطرف العلوي في سرعة الطرف السفلي بالجسم خلال مراحل أداء مهارة ركل الكرة من الثبات (التصويب بوجه القدم الأمامي) في كرة القدم.

فرضيات البحث :

تم صياغة فروض البحث على هيئة الأسئلة الآتية :

- ١- ما هي المواصفات الكمية الكينماتيكية لحركة كل من الطرف العلوي والسفلي للجسم خلال مراحل أداء مهارة ركل الكرة من الثبات (التصويب بوجه القدم الأمامي) في كرة القدم ؟
- ٢- ما هي نسبة مساهمة سرعة الطرف العلوي في سرعة الطرف السفلي للجسم خلال مراحل أداء مهارة ركل الكرة من الثبات (التصويب بوجه القدم الأمامي) في كرة القدم ؟

المصطلحات المستخدمة :

- الانتقال الحركي :
- تأذن متزامن من الحركات العضلية المشاركة في الأداء.
- تأذن حركى بين مجموعة عضلية وأخرى بغرض تعضيد إحدى المجموعات الأخرى للإسهام في تحقيق الهدف الحركي. (٤ : ٢١٢)

أنواع النقل الحركي :

- ١- انتقال حركى من الجذع للأطراف.
- ٢- انتقال حركى من الأطراف للجذع.

١ - انتقال حركى من الجذع للأطراف :

- نقل حركى من الجذع إلى الذراعين.
- نقل حركى من الجذع إلى الرجلين.
- نقل حركى من الجذع إلى الرأس.

٢ - انتقال حركى من الأطراف للجذع :

- نقل حركى من الرجلين إلى الجذع.
- نقل حركى من الذراعين إلى الجذع.
- نقل حركى من الرأس إلى الجذع.

(٤ : ٢١٧-٢١٨)

الدراسات المرتبطة :

- دراسة محمود أبو العينين (١٩٨٩م) (١٨)

التحليل الكينماتيكي لمهارة ضرب الكرة بالرأس من الثبات.

هدف الدراسة :

- تحديد أهم الخصائص الكينماتيكية لمهارة ضربة الكرة بالرأس من الثبات.
- وضع تدريبات للإعداد البدني الخاص لمهارة ضربة الكرة بالرأس.

عينة الدراسة : ١٢ لاعب من الدرجة الأولى في أندية القاهرة وقد روعى إجادة اللاعبين
لهذه المهارة.

أهم النتائج : ضرورة تحقيق الارتفاع المناسب لمركز ثقل الجسم خلال مرحلة الطيران حتى
تنتاح إمكانية عمل الجذع في مدى زاوي كبير.

- الوصول إلى الكرة بهدف ضربها يتطلب معدلات تغيرات زاوية عالية من الجذع.
- الحركة القوية من الجذع خلال مرحلة الطيران لحظة ضرب الكرة يتطلب رد فعل
مناسب من الطرف السفلي لمواجهة حركة الجسم في الهواء.

- دراسة محمد عبد السلام (١٩٨٧م) (١٥)

دراسة وصفية حرکية (بيوميكانيكية) لبعض أساليب تصويب ركلات الجزاء في كرة
 القدم.

هدف الدراسة :

- وضع توصيف بيوكينماتيكي لمراحل أداء مهارة تصويب ركلات الجزاء بكل من أسلوب التصويب بباطن القدم - ووجه القدم الداخلي والأمامي.
- تحديد المؤشرات البيوكينماتيكية ذات الأهمية والفعالية لمستوى الأداء المهاي في كل أسلوب.

عينة الدراسة : عينة عمدية قوامها تسعة عشر لاعباً من الدرجة الأولى.
المنهج المستخدم : استخدم الباحث المنهج الوصفي المسحى والتحليل البيوميكانيكي للأداء المسجل.

أهم النتائج : ثبات الخصائص الزمنية لكل من الخطوة الأخيرة للاقتراب والمرحلة الأمامية والاصطدام في أساليب التصويب الثلاثة.

- الانخفاض الرأسى للركبة اليمنى فى أسلوب التصويب بوجه القدم الأمامى والداخلى.
- وجود قدر أكبر من حرية المرحمة الخلفية فى مفصل الفخذ ورکبة الرجل اليمنى لأسلوب التصويب بوجه القدم الأمامى.
- وجود تفوق واضح فى المتغيرات البيوكينماتيكية سرعات عجلات أفقيه ورأسية ومحصلة سرعة لكل من رکبة ونقطاف قدم الرجل الضاربة فى التصويب بباطن القدم عنه فى أسلوبى التصويب بوجه القدم الأمامى والداخلى.

- دراسة حسن السيد أبو عبدة (١٩٨٥م) (٧)
دراسة تحليلية لتأثير مكان وضع القدمين على سرعة الكرة وميكانيكية الجسم أثناء رمية التماس فى لعبة كرة القدم.

هدف الدراسة :

- تحليل وموازنة طريقتين مختلفتين من طرق رمية التماس فى كرة القدم.
المنهج المستخدم : التصوير السينمائى والتحليل الحركى.
عينة الدراسة : ٣٢ لاعب من فريق كرة القدم بجامعة إنديانا بالولايات المتحدة الأمريكية.
أهم النتائج : أسفرت عن وجود فروق ذات دلائل إحصائية بين المجموعتين لصالح المجموعة التى تؤدى مهارة رمية التماس بطريقه الوقوف من الوضع أماما (قدم أمام الأخرى).

- دراسة جمال علاء الدين (١٩٧٩م) (٦)

دراسة بعض المؤشرات الكينماتيكية للضربة في كرة القدم (على مثال ضرب الكرة الثابتة بالجزء الأوسط من وجه القدم).

هدف الدراسة :

- تصنيف وتصميم المعطيات والمعلومات المتوفرة من كينماتيكية الحركات الضربية بصفة عامة وضرب الكرة بصفة خاصة.

- توضيح العلاقة بين ديناميكية بعض المتغيرات الكينماتيكية للضربة في كرة القدم وبين المستوى الرياضي.

عينة الدراسة : ١١ لاعب من الدرجة الأولى من طلاب كلية التربية الرياضية أبو قير .
المنهج المستخدم : التصوير الدائري القياس المترافق للمسارات الضوئية (السيكلوجرافى).
أهم النتائج : تزيد مسافة التأثير المتبادل للأجسام المتصادمة (القدم الضاربة والكرة) بزيادة سرعة انطلاق الكرة.

- هناك علاقة ارتباطية عكسية مرتفعة بين مقدار الإزاحة الزاوية لساقي الرجل الضاربة خلال فترة اصطدام قدمها بالكرة وبين سرعة انطلاق الكرة.

- وجود اثناء أكبر في مفصل ركبة الرجل الضاربة لحظة ملامسة قدمها للكرة.
- ثبت أن اكتساب الكرة الثابتة للسرعة لا يجري بصورة متعدلة ومنتظمة سواء على طول مسافة الإزاحة المشتركة للأجسام المتصادمة القدم الضاربة والكرة أو من خلال زمن هذه الإزاحة، حيث يتم اكتساب الكرة لحوالي من ٨٠٪ إلى ٩٠٪ من سرعة انطلاقها بعد قطع من ٤٠٪ إلى ٦٠٪ من مسافة التأثير المتبادل للقدم الضاربة للكرة.

إجراءات البحث :

أولاً : المنهج المستخدم :

استخدم الباحث المنهج الوصفي لملاحمته لطبيعة الدراسة.

ثانياً : عينة البحث :

تم اختيار عينة البحث بالطريقة العدمية من طلاب تخصص كرة القدم بكلية التربية الرياضية ببور سعيد وكان حجم العينة (١٢) طالب يجيدون التصويب من الثبات ومسجلين بـباندية الدرجة الأولى بالاتحاد المصري لكرة القدم، وقد قام كلًّا منهم بـ(٣) محاولات جيدة بعد استبعاد المحاولات الفاشلة. يوضح جدول (١) خصائص عينة البحث.

جدول (١)

خصائص عينة البحث في كل من الوزن والطول والسن والعمر التدريبي

ن = ١٢.

القياس	وحدة القياس	سن / سنة	م	الحد الأدنى	الحد الأقصى
الوزن	ثقل كجم	٧١,٦٦٧	٢,٩١٦	٦٥,٠٠	٧٨,٠٠
الطول	سم	١٧٩,٨٣٣	٢,٦٨٩	١٧٢,٠٠	١٨٥,٠٠
السن	سنة	١٧,٤١٧	٠,٥١٥	١٧,٠٠	١٨,٠٠
العمر التدريبي	سنة	٥,٣٢٣	٠,٨٨٨	٤,٠	٧,٠

يوضح جدول (١) المتوسط الحسابي والانحراف المعياري لكلاً من الوزن (٧١,٦٦٧) ثقل كجم $(3,916 \pm 0,916)$ ، الطول (١٧٩,٨٣٣ سم $\pm 2,689$) ، والسن (١٧,٤١٧ سنة $\pm 0,515$) ، والعمر التدريبي (٥,٣٢٣ سنة $\pm 0,888$) ، وكان الحد الأقصى لكل من الوزن والطول والسن والعمر التدريبي على التوالي ٧٨,٠٠ ثقل كجم ، ١٨٥,٠٠ سم ، ١٨,٠٠ سنة ، ٧,٠٠ سنة ، كما كان الحد الأدنى لكل من الوزن ٦٥,٠٠ ثقل كجم ، والطول ١٧٢ سم ، والسن ١٧,٠٠ سنة ، والعمر التدريبي ٤,٠٠ سنة.

* أسباب اختيار عينة البحث :

- وجود طلاب مسجلين بـباندية الدرجة الأولى ويجيدون التصويب من الثبات من تخصص كرة القدم.
- وجود أجهزة التصوير بالفيديو ومعداته بمعمل الميكانيكا الحيوية بالكلية.
- انتظام الطلاب في حضور محاضرات التخصص.
- انتظام مشاركة الطلاب مع أنديتهم في المسابقات الرسمية.

ثالثاً : وسائل جمع البيانات :

- ١- استخدام اختبار ركل كرة القدم من الثبات من مسافة ٣٥ ياردة على المرمى مرفق (٢) وتم استبعاد المحاولات الفاشلة من التحليل.
- ٢- التصوير بالفيديو.
- ٣- استخدام نظام ويندو للتحليل الحركي الفوري.
- ٤- استخدام البرنامج الإحصائي (SPSS).

١- التصوير بالفيديو :

تم تصوير الـ (١٢) لاعب بعد إعدادهم للتصوير باستخدام كاميرتين فيديو ماركة Panasonic سرعة كل منها ٢٥ مجال/ث ووضعت الكاميرا الأولى بزاوية ١٢٠ على الهدف وعلى مسافة (٦م) ووضعت الكاميرا الثانية على بعد (٦م) بزاوية ١٢٠ على جانب الهدف الأيسر وتم مراعاة شروط التصوير بالفيديو. (١٠ : ١٢)

٢- تحليل الفيلم :

بعد عرض الفيلم ورؤيه الـ (١٢) محاولة تبين صلاحيتها للتحليل وتم تحليلها بنظام التحليل الحركي ويندو Winanalysis Automatic Motion Analysis بمعمل الميكانيكا الحيوية بالكلية. وقد استخدم نموذج بيرنشتاين (١٩٦٧م) عن عادل عبد البصير (١٩٩٨م) لتحديد CG والمسارات الهندسية لل نقاط الثابتة بالجسم (المفاصل). ولتسهيل عملية التحليل قام الباحث بوضع نموذج تخطيطي للمراحل التي يمر بها اللاعب خلال أداء مهارة ركل الكرة بالقدم من الثبات والعوامل الكينماتيكية المؤثرة في الجسم وأجزائه خلال أداء المهراء، شكل (١).

وحساب كل من الإزاحات الرأسية والأفقية والسرعات الأفقية والرأسية ومحصلتها لكل من C.G وأجزائه باستخدام المعادلات الآتية :

$$V_y = \lim_{T \rightarrow 0} \frac{S y_2 - S y_1}{T_2 - T_1} = \frac{dys}{dt} \quad (1)$$

$$V_x = \lim_{T \rightarrow 0} \frac{S x_2 - S x_1}{T_2 - T_1} = \frac{dxs}{dt} \quad (2)$$

$$Z = \text{Limit} \frac{S_{z_2} - S_{z_1}}{T_2 - T_1} = \frac{dzs}{dt} \quad (3)$$

- المعالجة الإحصائية :

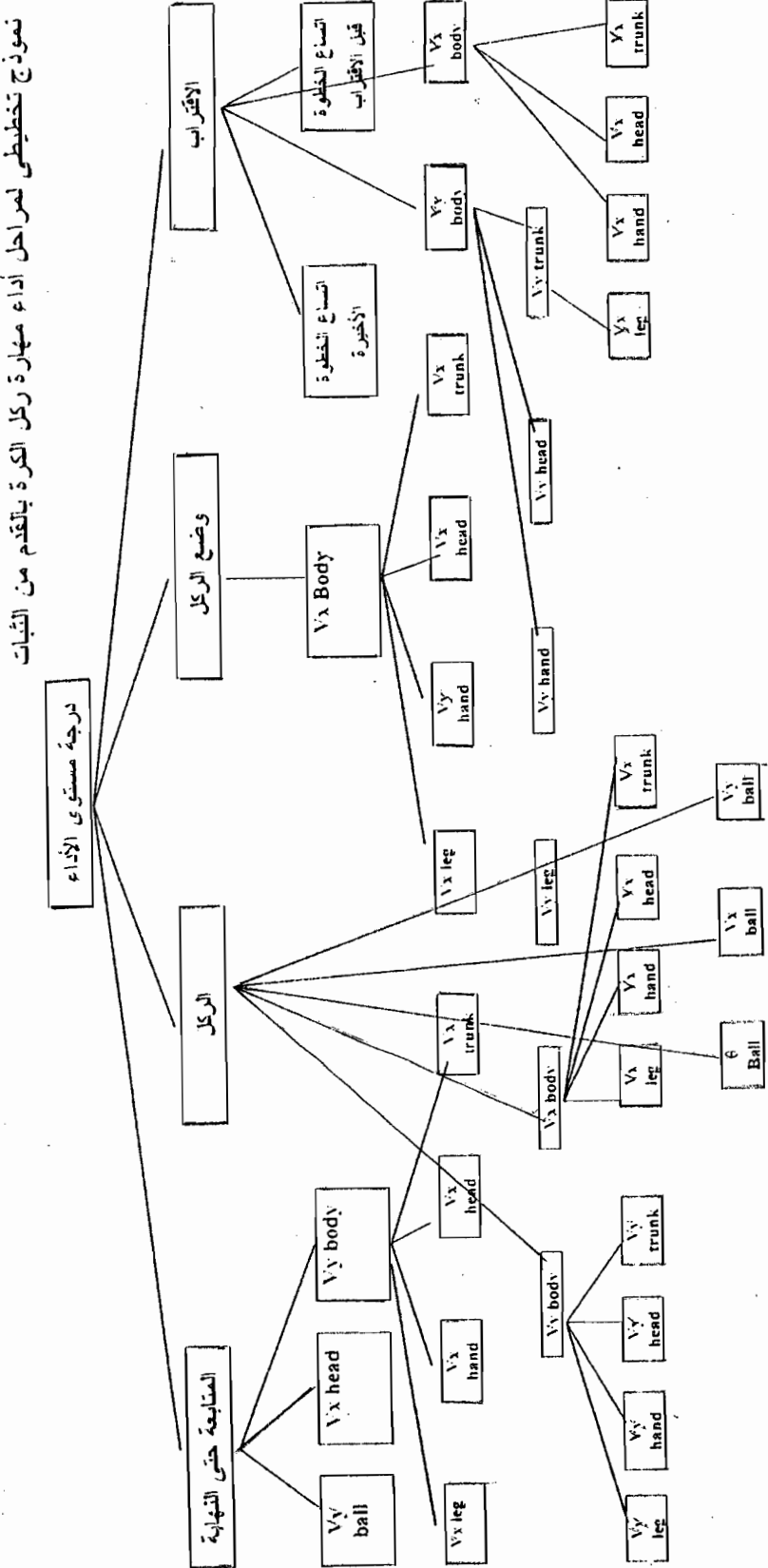
- المتوسط الحسابي.
- الانحراف المعياري.
- الحد الأدنى والحد الأقصى.
- مصفوفة الارتباط البسيط لسبيرمان Spearman.
- التحليل المنطقي للانحدار Stepwise regression

- إجراء التصوير :

تم التصوير يوم ١٠/٤/٢٠٠١م في ملعب كرة القدم بنادي هيئة قناة السويس ببورفؤاد.

نمودج تخطيطي لمراحل أداء مهارة ركل الكرة بالتقديم من الثبات

شكل (١)



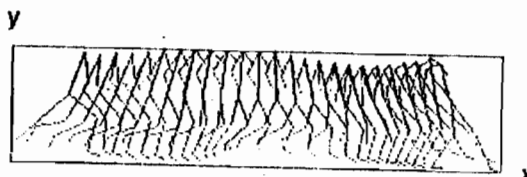
عرض النتائج ومناقشتها :

أولاً : عرض النتائج :

يعرض الباحث الصور المتتابعة ومنحنيات السرعة الرأسية والسرعة الأفقية ومحصلتهما كدالة بالنسبة للزمن لمركز ثقل كتلة جسم اللاعب رقم (١) خلال مراحل أداء مهارة ركل الكرة من الثبات في كرة القدم كنموذج أشكال (٢، ٣، ٤، ٥) مرافق رقم (١).

كما يعرض الباحث العلاقات الارتباطية بين أجزاء الطرف العلوي للجسم مع الطرف السفلي.

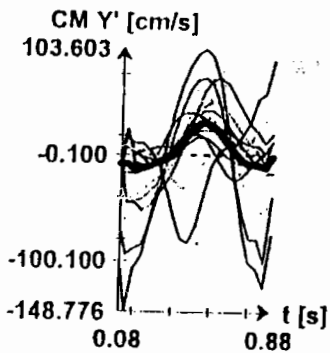
وتجداول نسب مساهمة أجزاء الجسم للطرف العلوي في الطرف السفلي.



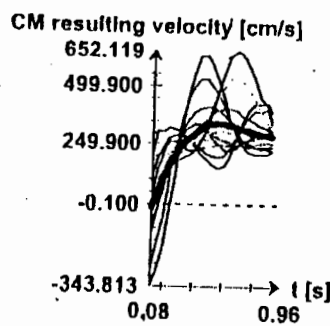
شكل (٢)

الصور المتتابعة لمركز ثقل كتلة جسم اللاعب

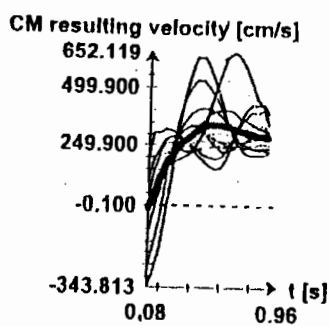
يلاحظ في الشكل (٢) الخاص بالصور المتتابعة أن اللاعب يبدأ مهارة ركل الكرة من الثبات بالاقتراب خطوتين ثم وضع قدم الإنزال بجوار الكرة، وقام بمرجة القدم الضاربة للخلف مع ميل الجذع للخلف مع تحريك الذراعين حركة عكسية بالنسبة لحركة الرجلين ثم مرحة الرجل الضاربة لأسفل وللأمام في اتجاه الكرة مع ميل الجذع للأمام وركل الكرة بوجه القدم الأمامي بقوة ومتبعتها للأمام حتى انطلاقها نحو المرمى حيث إصابة الهدف وبذلك يتحقق الهدف من المهارة قيد البحث.



شكل (٥)



شكل (٤)



شكل (٣)

منحنى السرعة الأفقية لمركز ثقل كتلة الجسم كدالة بالنسبة للزمن خلال مراحل أداء ركل الكرة من الثبات

منحنى محصلة السرعة الأفقية والرأسية لمركز ثقل كتلة الجسم كدالة بالنسبة للزمن

يتضح من الأشكال (٣، ٤، ٥) أن منحنى دالة السرعة في اتجاه كلا المركبتين الأفقية والرأسية ومحصلتها كدالة بالنسبة للزمن المؤثرة على (C.G.) خلال خطوتى الاقتراب، تذبذب مقادير كلا منها بين الارتفاع والانخفاض، حيث كانت قيمة السرعة في اتجاه المركبة الأفقية ($399,17 \text{ سم/ث}$) تقريباً وسرعة المركبة الرأسية ($320,1 \text{ سم/ث}$) تقريباً ومحصلتها ($400,45 \text{ سم/ث}$) تقريباً علماً بأن السرعة الأفقية في بداية الخطوة الأولى للاقتراب كانت ($391,05 \text{ سم/ث}$) والسرعة في اتجاه المركبة الرأسية للخطوة الأولى للاقتراب ($-80,85 \text{ سم/ث}$) تقريباً ومحصلتها ($224,87 \text{ سم/ث}$) تقريباً ويشير ذلك إلى تفوق سرعة مركز ثقل الجسم في اتجاه المركبة الأفقية والرأسية ومحصلتها في نهاية الخطوة الثانية للاقتراب على نظائرهم في بداية الخطوة الأولى للاقتراب، كما لوحظ أن السرعة الأفقية المؤثرة على مركز (C.G.) لحظة الاصطدام في اتجاه المركبة الأفقية كانت ($337,27 \text{ سم/ث}$) وبالنسبة للمركبة الرأسية كانت ($1,6 \text{ سم/ث}$) وبالنسبة لمحصلتها ($3413,81 \text{ سم/ث}$) ويشير ذلك إلى حدوث فرملة في اتجاه المركبة الأفقية والراسية أدت إلى اقلال سرعة (C.G.) لحظة ركل الكرة من الثبات، كما لوحظ خلال مرحلة المتابعة انخفاض في سرعة (C.G.) في اتجاه كلا المركبتين الأفقية والراسية ومحصلتها.

جدول (٢)

مصفوفة الارتباط البسيط بين سرعات الطرف العلوي (الرأس، الجذع، اليد اليمنى، اليد اليسرى) في اتجاه السرعة الرأسية والأفقية وسرعة الطرف السفلي (الرجل اليمنى الضاربة) في اتجاه كل من المركبتين الأفقية والرأسية خلال (الخطوة الأولى) مناقب اقتراب أثناء أداء ركل الكرة

V_R leg R m/s	V_R hand R m/s	V_y hand R m/s	V_x hand R m/s	V_R hand L m/s	V_y hand L m/s	V_x hand L m/s	V_R trunk m/s	V_y trunk m/s	V_x trunk m/s	V_R head m/s	V_y head m/s	V_x head m/s	المتغيرات
**	**	***	*	*	**	***	*	**	**	**	**	**	V_x head
**	**	**	*	**	*	**	*	**	**	**	**	**	V_y head
**	**	**	*	**	*	**	*	**	**	**	**	**	V_R head
***	***	***	*	***	*	***	*	***	***	***	***	***	V_x trunk
***	***	***	*	***	*	***	*	***	***	***	***	***	V_y trunk
**	**	**	*	**	*	**	*	**	**	**	**	**	V_R trunk
**	**	**	*	**	*	**	*	**	**	**	**	**	V_x hand L
**	**	**	*	**	*	**	*	**	**	**	**	**	V_y hand L
**	**	**	*	**	*	**	*	**	**	**	**	**	V_R hand L
**	**	**	*	**	*	**	*	**	**	**	**	**	V_x hand R
**	**	**	*	**	*	**	*	**	**	**	**	**	V_y hand R
**	**	**	*	**	*	**	*	**	**	**	**	**	V_R hand R
**	**	**	*	**	*	**	*	**	**	**	**	**	V_R leg R

تعنى العلامة * أن معامل الارتباط دال إحصائياً عند مستوى (٠٠٥)

والعلامة ** تعنى أن معامل الارتباط دال إحصائياً عند (٠٠١)

والعلامة *** أن معامل الارتباط دال إحصائياً عند مستوى (٠٠٠١)

يوضح جدول (٢) مصفوفة الارتباط البسيط بين السرعات في اتجاه كلا المركبتين الأفقية والرأسية ومحصلتيهما لكل من الطرفين العلوى (الرأس، الجذع، اليد اليمنى، اليد اليسرى) والطرف السفلى (الرجل اليمنى الضاربة) تشير إلى ما يلى :

- ١ - عدد معاملات الارتباط (٧٨) معامل ارتباط منها عدد (٣٧) ارتباط سالب بنسبة ٤٤٪ تقريباً وعدد معاملات موجبة (٤١) بنسبة ٥٦٪.
- ٢ - عدد معاملات الارتباط الدالة إحصائياً (١٧) معامل ارتباط انحصرت الدالة الإحصائية كل منها ما بين (٠٠٠٥)، (٠٠٠٠).
- ٣ - يوجد علاقة طردية بين سرعة الرجل اليمنى الضاربة لكرة القدم وكل من السرعة الأفقية للجذع ومحصلة السرعة للجذع خلال الخطوة الأولى للاقتراب. كما يوجد علاقة عكسية بين سرعة الرجل اليمنى الضاربة لكرة القدم عند التصويب من الثبات وسرعة اليد اليسرى في اتجاه المركبة الرأسية وجميعها دالة إحصائياً عند مستوى دلالة إحصائي انحصرت بين (٠٠٠٥)، (٠٠٠٤)، (٠٠٠٠) على التوالى.
- ٤ - وجود علاقة طردية بين السرعة في اتجاه المركبة الرأسية للرأس (V_x head) وكل من السرعة في اتجاه المحصلة للرأس (V_R head) عند مستوى دلالة إحصائية (٠٠٠١)، (V_x head) عند مستوى دلالة إحصائية (٠٠٠٠)، (V_y trunk) عند مستوى دلالة إحصائية بين (V_R head)، (V_x hand) عند مستوى دلالة إحصائية (٠٠٣٣) وجميعها دالة إحصائيأ.
- ٥ - وجود علاقة طردية بين (V_R head) وكل من (V_x trunk) عند مستوى دلالة إحصائية (٠٠٣٨)، و(V_R hand) عند مستوى دلالة إحصائية (٠٠٠٠) وعلاقة عكسية بين (V_R head) و(V_x hand) عند مستوى دلالة إحصائية (٠٠٣٣) وجميعها دالة إحصائيأ.
- ٦ - وجود علاقة طردية بين (V_R trunk)، (V_x trunk) عند مستوى دلالة إحصائية (٠٠٠١)، وعلاقة عكسية بين (V_x hand)، (V_x trunk) عند مستوى دلالة (٠٠١٢) وهما داللتين إحصائيأ.
- ٧ - يوجد علاقة طردية بين (V_y trunk) و(V_R trunk) عند مستوى دلالة إحصائيأ (٠٠٠٣) وهي دالة إحصائيأ.

-٨ وجود علاقة عكسية بين (V_x hand R) و(V_R trunk) عند مستوى دالة إحصائية (.٥٠٠٥) وهي دالة إحصائية.

-٩ وجود علاقة طردية بين (V_R hand R) و(V_x Hand R) بمستوى دالة إحصائية (.٤٠٠٤).

-١٠ وجود علاقة طردية بين (V_x hand R) و(V_y hand L) بمستوى دالة إحصائية (.٤٠٠٤) وهي دالة إحصائية.

جدول (٣)

الخطوة النهائية للتحليل المنطقي لأنحدار سرعات الطرف العلوي (رأس، جذع، يد يمنى،

يد يسرى) على سرعات الطرف السفلى (الرجل اليمنى الضاربة للكرة خلال

الخطوة الأولى من الاقتراب) أثناء أداء ركل الكمة من الثبات

نسبة المساهمة	الدالة الإحصائية	قيمة (ت) المحسوبة	درجات الحرية	معامل الخطأ المعياري	معامل الانحدار الجزئي	المتغيرات
	.	.		صفر	٨٦٩,٨٣٥-	المقدار الثابت
	.	.		صفر	.٥٧٣	V_x head
	.	.		صفر	١,٩٣٩-	V_y head
٠,١٠٨	.	.		صفر	.٠٠٥٦٩-	V_R head
	.	.		صفر	٥,٣٢٠	V_x trunk
	.	.		صفر	.٠٤٠٢	V_y trunk
	.	.		صفر	١,٩١٧-	V_R trunk
٠,٥٢١	.	.		صفر	.٠٩٩٦	V_x hand L
	.	.		صفر	٠,٤٩١	V_y hand L
	.	.		صفر	٠,٥٥٠-	V_R hand L
٠,٦٠٥	.	.		صفر	٠,٢٧٩-	V_x hand R
	.	.		صفر	٠,٢٥٢-	V_y hand R
	.	.		صفر		V_R hand R
١٠٠%				المجموع		

يبين جدول (٣) أن (V_R trunk, V_y trunk, V_x trunk) هي أكثر المتغيرات في الطرف العلوي مساهمة في التأثير على سرعة الطرف السفلي (V_R leg R) الضاربة للكرة حيث بلغت نسبة مساهمتها (٥٢١٪)، تليها (V_R head, V_y head, V_x head) حيث بلغت نسبة مساهمتها (٤٠٨٪)، تليها (V_R hand R, V_y hand R, V_x hand R) حيث بلغت نسبة مساهمتها (٤٠٨٪)، تليها (V_R hand L, V_y hand L, V_x hand L) حيث ساهمت بنسبة (٦٪) وبالذير أن جميع هذه المتغيرات ساهمت مجتمعة بنسبة ١٠٠٪ وهي نسبة تشير إلى أهمية انتقال السرعات من هذه الأطراف العلوية إلى الرجل الضاربة خلال الخطوة الأولى من الاقتراب.

وتصبح المعادلة التنبؤية بسرعة الرجل اليمني الضاربة خلال الخطوة الأولى من الاقتراب بدلالة سرعة الأطراف العلوية المساهمة فيها هي :

$$\begin{aligned}
 & \text{محصلة سرعة الرجل اليمني الضاربة خلال الخطوة الأولى من الاقتراب} = -849,835 \\
 & + (V_R \text{ head}) 1,549 - (V_y \text{ head}) 1,939 - (V_x \text{ head}) 1,753 \\
 & + (V_x \text{ hand R}) 1,996 + (V_R \text{ trunk}) 1,917 - (V_y \text{ trunk}) 1,402 \\
 & - (V_x \text{ hand}) 1,279 - (V_R \text{ hand R}) 1,550 - (V_y \text{ hand R}) 1,491 \\
 & \quad (V_R \text{ hand L}) 1,252
 \end{aligned}$$

جدول (٤)

مصفوفة الارتباط البسيط بين سرعات الطرف الطوى (الرأس، الجذع، اليد اليمنى، اليد اليسرى) في اتجاه السرعة الرأسية والأفقية ومحصلتها وسرعة الطرف السفلى (الرجل اليمنى الضاربة) في اتجاه كل من المركبتين الأفقية والرأسية خلال (الخطوة الثانية) مناقشة أداء ركل الكرة

V_R leg R2 m/s	V_R hand L2 m/s	V_y hand L2 m/s	V_x hand L2 m/s	V_R hand R2 m/s	V_y hand R2 m/s	V_x hand R2 m/s	V_R trunk2 m/s	V_y trunk2 m/s	V_x trunk2 m/s	V_R head2 m/s	V_y head2 m/s	V_x head2 m/s	المتغيرات
٠,١٢٣	٠,١٩٩	٠,١٦٥	٠,١٨٨	٠,٠٩٣	٠,١٧٣	٠,١٦١	٠,١٣١	٠,١٣٣	٠,١٧٣	٠,١٩٣	٠,١٧٣	٠,١٦١	V_x head2
٠,١٩٣	٠,٢٣٦	٠,٢٢٣	٠,٢٢٧	٠,١٣٣	٠,٢٣٦	٠,٢٢٧	٠,١٣٣	٠,١٣٣	٠,٢٣٦	٠,٢٣٦	٠,٢٢٧	٠,١٣٣	V_y head2
٠,١٣٣	٠,١٨١	٠,١٣٧	٠,١٨١	٠,١٣٣	٠,١٧٣	٠,١٧٣	٠,١٣٣	*	٠,١٣٣	٠,١٣٣	٠,١٣٣	٠,١٣٣	V_R head2
٠,٢٢٣	٠,٢٣٦	٠,٢٢٣	٠,٢٢٧	٠,٢٣٦	٠,٢٣٦	٠,٢٢٧	٠,١٣٣	٠,١٣٣	٠,٢٣٦	٠,٢٣٦	٠,٢٢٧	٠,١٣٣	V_x trunk2
٠,٢٣٦	٠,٢٣٦	٠,٢٢٣	٠,٢٢٧	٠,٢٣٦	٠,٢٣٦	٠,٢٢٧	٠,١٣٣	٠,١٣٣	٠,٢٣٦	٠,٢٣٦	٠,٢٢٧	٠,١٣٣	V_y trunk2
٠,١٣٣	٠,٢٣٦	٠,٢٢٣	٠,٢٢٧	٠,٢٣٦	٠,٢٣٦	٠,٢٢٧	٠,١٣٣	٠,١٣٣	٠,٢٣٦	٠,٢٣٦	٠,٢٢٧	٠,١٣٣	V_R trunk2
٠,٢٣٦	٠,٢٣٦	٠,٢٢٣	٠,٢٢٧	٠,٢٣٦	٠,٢٣٦	٠,٢٢٧	٠,١٣٣	٠,١٣٣	٠,٢٣٦	٠,٢٣٦	٠,٢٢٧	٠,١٣٣	V_x hand R2
٠,١٣٣	٠,١٩٩	٠,١٦٥	٠,١٨٨	٠,٠٩٣	٠,١٧٣	٠,١٦١	٠,١٣٣	٠,١٣٣	٠,٢٣٦	٠,٢٣٦	٠,٢٢٧	٠,١٣٣	V_y hand R2
٠,١٣٣	٠,١٩٩	٠,١٦٥	٠,١٨٨	٠,٠٩٣	٠,١٧٣	٠,١٦١	٠,١٣٣	٠,١٣٣	٠,٢٣٦	٠,٢٣٦	٠,٢٢٧	٠,١٣٣	V_R hand R2
٠,١٣٣	٠,١٩٩	٠,١٦٥	٠,١٨٨	٠,٠٩٣	٠,١٧٣	٠,١٦١	٠,١٣٣	٠,١٣٣	٠,٢٣٦	٠,٢٣٦	٠,٢٢٧	٠,١٣٣	V_x hand L2
٠,١٣٣	٠,١٩٩	٠,١٦٥	٠,١٨٨	٠,٠٩٣	٠,١٧٣	٠,١٦١	٠,١٣٣	٠,١٣٣	٠,٢٣٦	٠,٢٣٦	٠,٢٢٧	٠,١٣٣	V_y hand L2
٠,١٣٣	٠,١٩٩	٠,١٦٥	٠,١٨٨	٠,٠٩٣	٠,١٧٣	٠,١٦١	٠,١٣٣	٠,١٣٣	٠,٢٣٦	٠,٢٣٦	٠,٢٢٧	٠,١٣٣	V_R hand L2
٠,٢٣٦	٠,٢٣٦	٠,٢٢٣	٠,٢٢٧	٠,٢٣٦	٠,٢٣٦	٠,٢٢٧	٠,١٣٣	٠,١٣٣	٠,٢٣٦	٠,٢٣٦	٠,٢٢٧	٠,١٣٣	V_x leg R2

تعنى العلامة * أن معامل الارتباط دال إحصائياً عند مستوى (٠,٠٥)

والعلامة ** تعنى أن معامل الارتباط دال إحصائياً عند (٠,٠١)

والعلامة *** أن معامل الارتباط دال إحصائياً عند مستوى (٠,٠٠١)

يوضح الجدول (٤) ما يلى :

- ١ - عدد معاملات الارتباط (٧٨) ارتباطاً منها عدد (٣٢) معامل ارتباط سابق بنسبة .٩٧٪ وعدد معاملات الارتباط موجبة (٤٦) بنسبة .٩٨٪
- ٢ - وجود علاقة طردية بين سرعة الرجل اليمنى الضاربة الكرة خلال الخطوة الأخيرة للاقتراب (V_R leg R2) وبين محصلة السرعة لليد اليمنى (R2 hand) خلال الخطوة الأخيرة للاقتراب عند مستوى دلالة إحصائية (٠,٠٣١) وهي دالة إحصائياً وعدم وجود ارتباط دال إحصائياً بين (V_R leg R2) وباقى متغيرات الطرف العلوى.
- ٣ - وجود علاقة طردية بين (V_x head2) خلال الخطوة الأخيرة للاقتراب و($V_{xhandR2}$) عند مستوى دلالة إحصائية (٠,٠٣٢) وهي دالة إحصائياً، كما توجد علاقة عكسية بين (V_x head2) خلال الخطوة الأخيرة للاقتراب و($R2$) عند مستوى دلالة إحصائية (٠,٠٣٨) وهي دالة إحصائياً.
- ٤ - وجود علاقة عكسية بين (V_y head2) خلال الخطوة الأخيرة للاقتراب و(V_{Rhead2}) عند مستوى دلالة إحصائية (٠,٠٤٨) وهي دالة إحصائياً.
- ٥ - وجود علاقة طردية بين (V_R head2) خلال الخطوة الأخيرة للاقتراب و($V_{ytrunk2}$) عند مستوى دلالة إحصائية (٠,٠٤٤) وهي دالة إحصائياً.
- ٦ - وجود علاقة طردية بين ($V_{xtrunk2}$) خلال الخطوة الأخيرة للاقتراب و($V_{ytrunk2}$) عند مستوى دلالة إحصائية (٠,٠٥٠) وهي دالة إحصائياً، كما يوجد علاقة عكسية بين ($V_{xtrunk2}$) و($V_{ytrunk2}$) خلال الخطوة الأخيرة للاقتراب عند مستوى دلالة إحصائية (٠,٠٢٠) وهي دالة إحصائياً.
- ٧ - وجود علاقة طردية بين ($V_{ytrunk2}$) وكل من ($V_{xhandR2}$) و($V_{yhandR2}$) خلال الخطوة الأخيرة للاقتراب وعند مستوى دلالة إحصائية (٠,٠٢٢)، (٠,٠٥٠) على التوالى وهما دالاتان إحصائيات.
- ٨ - وجود علاقة طردية بين ($V_{yhandR2}$) وكل من ($V_{RhandR2}$) و($V_{yhandL2}$) خلال الخطوة الأخيرة للاقتراب وعند مستوى دلالة إحصائية (٠,٠٢١)، (٠,٠١) على التوالى وهما دالاتين إحصائيات.
- ٩ - وجود علاقة طردية بين ($V_{yhandR2}$) وكل من ($V_{RhandR2}$) و($V_{yhandL2}$) عند مستوى دلالة إحصائية (٠,٠٤٥)، (٠,٠٥) وهما دالاتين إحصائيات.

١٠- وجود علاقة طردية بين ($V_{R\text{hand}L2}$) و($V_{x\text{hand}L2}$) خلال الخطوة الأخيرة للاقتراب وعند مستوى دالة إحصائية (٠,٠٠٠) وهي دالة إحصائية.

جدول (٥)

الخطوة النهائية للتحليل المنطقي لانحدار سرعات الرأس، الجذع، اليد اليمنى، اليد يسرى (الطرف العلوي) على الرجل اليمنى الضاربة لكرة القدم خلال التصويب من الثبات خلال الخطوة الثانية (الأخيرة) من الاقتراب

نسبة المساهمة	الدالة الإحصائية	قيمة (ت) المحسوبة	درجات الحرية	معامل الخطأ المعياري	معامل الانحدار الجزئي	المتغيرات
٠,٣٦٨	.	.	١١	صفر	١٧٩٠,٧٣٣	العذر الثابت
	.	.		صفر	٢,٩٢٦-	$Vx\ head2$
	.	.		صفر	٣١,٣٣١-	$Vy\ head2$
	.	.		صفر	٦,٤٧١-	$V_R\ head2$
	.	.		صفر	٩,٤٩٦	$Vx\ trunk2$
	.	.		صفر	١١,٣٧٧-	$Vy\ trunk2$
	.	.		صفر	٠,١٤٩	$V_R\ trunk2$
	.	.		صفر	١,٣٧٣	$Vx\ hand\ R2$
	.	.		صفر	١,٣٨١-	$Vy\ hand\ R2$
	.	.		صفر	٣,٨٦٠-	$V_R\ hand\ R2$
	.	.		صفر	١,١١١-	$Vy\ hand\ L2$
	.	.		صفر	٠,٨٠٧	$V_R\ hand\ L2$
١,٠٠٠			المجموع			

يشير جدول (٥) إلى أن سرعات اليد اليمنى في اتجاه كلا المركبين الأفقي والرأسي ومحصلتها كدالة بالنسبة ل الزمن هي أكثر الأطراف العلوية للجسم مساهمة في سرعة الرجل اليمنى الضاربة لكرة القدم خلال التصويب من الثبات أثناء الخطوة الأخيرة للاقتراب حيث بلغت نسبة مساحتها معاً (٤,١%) في سرعة الرجل اليمنى الضاربة لكرة تنتهي سرعات الرأس في اتجاه كلا المركبين الأفقي والرأسي ومحصلتيهما كدالة بالنسبة ل الزمن مساهمة في سرعة الرجل اليمنى الضاربة لكرة القدم عند التصويب من الثبات خلال الخطوة الأخيرة

للاقتراب حيث بلغت نسبة مساهمتها معاً ٣٦,٨% في سرعة الرجل الضاربة للكرة، تليها سرعات الجذع في اتجاه المركبين الأفقي والرأسية ومحصلتيهما كدالة بالنسبة للزمن مساهمة في سرعة الرجل اليمني الضاربة للكرة خلال الخطوة الأخيرة للاقتراب حيث بلغت نسبة مساهمتها معاً ١٢,٩%， تليها سرعات اليد اليسرى في اتجاه المركبة الرأسية والمحصلة كدالة بالنسبة للزمن مساهمة في سرعة الرجل اليمني الضاربة للكرة خلال الخطوة الأخيرة من الاقتراب حيث بلغت نسبة مساهمتها معاً ٨,٧% والجدير بالذكر أن مجموع مساهمة هذه الأطراف العلوية للجسم وصل ١٠٠% في سرعة الرجل الضاربة للكرة خلال الخطوة الأخيرة للاقتراب.

وتصبح المعادلة التنبؤية لسرعة الرجل الضاربة عند تصويب كرة القدم من الثبات بدلاة سرعات الطرف العلوي المساهمة فيها هي :

$$\begin{aligned}
 & \text{محصلة سرعة الرجل اليمني الضاربة خلال الخطوة الثانية من الاقتراب} = ١١٧٩٠,٧٣٣ \\
 & - (V_{R\text{head}2}) ٦,٤٧١ - (V_{y\text{head}2}) ٣١,٣٣١ - (V_{x\text{head}2}) ٢,٩٢٦ \\
 & + (V_{R\text{trunk}2}) ٠,١٤٩ + (V_{y\text{trunk}2}) ١١,٣٧٧ - (V_{x\text{trunk}2}) ٩,٤٩٦ \\
 & - (V_{R\text{handR}2}) ٣,٨٦ - (V_{y\text{handR}2}) ١,٣٨١ - (V_{x\text{handR}2}) ١,٣٧٣ \\
 & (V_{R\text{handL}2}) ٠,٨٠٢ - (V_{y\text{handL}2}) ١,١١١
 \end{aligned}$$

جدول (٦)

مصفوفة الارتباط البسيط بين سرعات الطرف العلوي (الرأس، الجذع، اليد اليمنى، اليد اليسرى) في اتجاه السرعة الرأسية والأفقية ومحصلتها على سرعة الطرف السفلي (الرجل اليمنى الضاربة) خلال مرحلة وضع الرجل الثابتة بجوار الكثرة أثناء ركل الكرة من الثبات

V_R leg RJ m/s	V_R hand L.J m/s	V_y hand L.J m/s	V_x hand L.J m/s	V_R hand RJ m/s	V_y hand RJ m/s	V_x hand RJ m/s	V_R trunk3 m/s	V_y trunk3 m/s	V_x trunk3 m/s	V_R head3 m/s	V_y head3 m/s	V_x head2 m/s	المتغيرات
٠,١٣٤	٠,٢٧٩-	٠,١٣٩	٠,١٩٢-	٠,٢٩٩	٠,٢٧١	٠,٢٧١	٠,٢٩٩-	٠,٢٩٩	٠,٢٩٩	٠,٢٨٣	٠,٢٩٣	٠,٢٩٣	V_x head3
٠,٢٩٩-	٠,٢٧٤	٠,٢٩٤	٠,٢٩٨-	٠,٢٩٩-	٠,٢٩٨-	٠,٢٩٨-	٠,٢٩٩-	٠,٢٩٩-	٠,٢٩٩-	٠,٢٨٣	٠,٢٩٣	٠,٢٩٣	V_y head3
٠,٢٩٩	٠,٢٨١	٠,٢٩٦	٠,٢٩٦-	٠,٢٩٩	٠,٢٩٦-	٠,٢٩٦-	٠,٢٩٩-	٠,٢٩٩-	٠,٢٩٩-	٠,٢٨٣	٠,٢٩٣	٠,٢٩٣	V_R head3
٠,٢٩٦	٠,٢٩٣	٠,٢٩٦	٠,٢٩٦-	٠,٢٩٩	٠,٢٩٦-	٠,٢٩٦-	٠,٢٩٩-	٠,٢٩٩-	٠,٢٩٩-	٠,٢٨٣	٠,٢٩٣	٠,٢٩٣	V_x trunk3
٠,٢٩٦	٠,٢٩٣	٠,٢٩٦	٠,٢٩٦-	٠,٢٩٩	٠,٢٩٦-	٠,٢٩٦-	٠,٢٩٩-	٠,٢٩٩-	٠,٢٩٩-	٠,٢٨٣	٠,٢٩٣	٠,٢٩٣	V_y trunk3
٠,٢٩٦	٠,٢٩٣	٠,٢٩٦	٠,٢٩٦-	٠,٢٩٩	٠,٢٩٦-	٠,٢٩٦-	٠,٢٩٩-	٠,٢٩٩-	٠,٢٩٩-	٠,٢٨٣	٠,٢٩٣	٠,٢٩٣	V_R trunk3
٠,٢٩٦	٠,٢٩٣	٠,٢٩٦	٠,٢٩٦-	٠,٢٩٩	٠,٢٩٦-	٠,٢٩٦-	٠,٢٩٩-	٠,٢٩٩-	٠,٢٩٩-	٠,٢٨٣	٠,٢٩٣	٠,٢٩٣	V_x hand RJ
٠,٢٩٦	٠,٢٩٣	٠,٢٩٦	٠,٢٩٦-	٠,٢٩٩	٠,٢٩٦-	٠,٢٩٦-	٠,٢٩٩-	٠,٢٩٩-	٠,٢٩٩-	٠,٢٨٣	٠,٢٩٣	٠,٢٩٣	V_y hand RJ
٠,٢٩٦	٠,٢٩٣	٠,٢٩٦	٠,٢٩٦-	٠,٢٩٩	٠,٢٩٦-	٠,٢٩٦-	٠,٢٩٩-	٠,٢٩٩-	٠,٢٩٩-	٠,٢٨٣	٠,٢٩٣	٠,٢٩٣	V_R hand RJ
٠,٢٩٦	٠,٢٩٣	٠,٢٩٦	٠,٢٩٦-	٠,٢٩٩	٠,٢٩٦-	٠,٢٩٦-	٠,٢٩٩-	٠,٢٩٩-	٠,٢٩٩-	٠,٢٨٣	٠,٢٩٣	٠,٢٩٣	V_x hand L.J
٠,٢٩٦	٠,٢٩٣	٠,٢٩٦	٠,٢٩٦-	٠,٢٩٩	٠,٢٩٦-	٠,٢٩٦-	٠,٢٩٩-	٠,٢٩٩-	٠,٢٩٩-	٠,٢٨٣	٠,٢٩٣	٠,٢٩٣	V_y hand L.J
٠,٢٩٦	٠,٢٩٣	٠,٢٩٦	٠,٢٩٦-	٠,٢٩٩	٠,٢٩٦-	٠,٢٩٦-	٠,٢٩٩-	٠,٢٩٩-	٠,٢٩٩-	٠,٢٨٣	٠,٢٩٣	٠,٢٩٣	V_R hand L.J
٠,٢٩٦	٠,٢٩٣	٠,٢٩٦	٠,٢٩٦-	٠,٢٩٩	٠,٢٩٦-	٠,٢٩٦-	٠,٢٩٩-	٠,٢٩٩-	٠,٢٩٩-	٠,٢٨٣	٠,٢٩٣	٠,٢٩٣	V_R leg RJ
٠,٢٩٦	٠,٢٩٣	٠,٢٩٦	٠,٢٩٦-	٠,٢٩٩	٠,٢٩٦-	٠,٢٩٦-	٠,٢٩٩-	٠,٢٩٩-	٠,٢٩٩-	٠,٢٨٣	٠,٢٩٣	٠,٢٩٣	V_R leg L.J

تعنى العلامة * أن معامل الارتباط دال إحصائياً عند مستوى (٠,٠٥)

والعلامة ** تعنى أن معامل الارتباط دال إحصائياً عند (٠,٠١)

والعلامة *** تعنى أن معامل الارتباط دال إحصائياً عند مستوى (٠,٠٠١)

يوضح جدول (٦) ما يلى :

١- وجود عدد (٧٨) معامل ارتباط منها عدد (٤١) معامل ارتباط سالب بنسبة ٥٢,٥%

وعدد (٣٧) معامل ارتباط موجب بنسبة (٤٤,٤%).

- وجود علاقة طردية بين ($V_{R\text{head}3}$) وكل من ($V_{R\text{hand}3}$) و($V_{R\text{trunk}3}$) خلال تصويب كرة القدم من الثبات عند مستوى دالة إحصائية (٤٠,٠٠٣٠) على التوالى وهما دالتان إحصائيات، كما يوجد علاقة عكسية بين ($V_{R\text{head}3}$) وكل من ($V_{R\text{trunk}3}$) و($V_{R\text{hand}3}$) خلال تصويب كرة القدم من الثبات عند مستوى دالة إحصائية (٤٠,٠٠٢٨) على التوالى وهما دالتان إحصائيات.

- وجود علاقة طردية بين ($V_{y\text{head}3}$) و($V_{y\text{hand}3}$) خلال وضع القدم اليسرى بجوار الكرة أثناء تصويب الكرة من الثبات عند مستوى دالة إحصائية (٣٠,٠٠٣٠) وهي دالة إحصائية.

- وجود علاقة طردية بين ($V_{R\text{head}3}$) وكل من ($V_{R\text{hand}3}$) و($V_{R\text{trunk}3}$) عند وضع القدم اليسرى بجوار الكرة خلال تصويب كرة القدم بالقدم اليمنى وعند مستوى دالة إحصائية (١١,٠٠١٠) وهما دالتان إحصائيات، كما يوجد علاقة عكسية بين ($V_{R\text{head}3}$) و($V_{R\text{trunk}3}$) لحظة وضع القدم اليسرى بجوار الكرة أثناء تصويب كرة القدم بالقدم اليمنى عند مستوى دالة إحصائية (٢٢,٠٠٢٢) وهي دالة إحصائية.

- وجود علاقة طردية بين ($V_{R\text{trunk}3}$) وكل من ($V_{R\text{hand}L3}$) و($V_{x\text{trunk}3}$) و($V_{R\text{hand}L3}$) لحظة وضع القدم اليسرى بجوار الكرة أثناء تصويب الكرة بالقدم اليمنى عند مستوى دالة إحصائية (٤٤,٠٠٢٧) على التوالى وجميعها دالة إحصائية كما يوجد علاقة عكسية بين ($V_{R\text{trunk}3}$) و($V_{y\text{trunk}3}$) و($V_{y\text{hand}3}$) لحظة تصويب الكرة بالقدم اليمنى عند مستوى دالة إحصائية (٤٠,٠٠٤٤) وهي دالة إحصائية.

- وجود علاقة طردية بين ($V_{R\text{trunk}3}$) وكل من ($V_{R\text{hand}L3}$) و($V_{x\text{trunk}3}$) و($V_{R\text{hand}L3}$) أثناء وضع القدم اليسرى بجوار الكرة لحظة تصويبها عند مستوى دالة إحصائية (٨٠,٠٠١٥) وهما دالتان إحصائيات، كما يوجد علاقة عكسية بين ($V_{R\text{trunk}3}$) و($V_{y\text{hand}3}$) و($V_{y\text{trunk}3}$) لحظة ثبيت القدم اليسرى بجوار الكرة لحظة تصويبها عند مستوى دالة إحصائية (١٠,٠٠١٠) وهي دالة إحصائية.

- وجود علاقة طردية بين ($V_{R\text{hand}3}$) و($V_{x\text{hand}3}$) و($V_{R\text{hand}3}$) أثناء وضع القدم اليسرى بجوار الكرة لحظة تصويبها عند مستوى دالة إحصائية (٠٠,٠٠٠٠) وهي دالة إحصائية.

-٨ وجود علاقة طردية بين ($V_{R\text{hand}L3}$) و($V_{x\text{hand}L3}$) لحظة وضع القدم اليسرى بجوار الكرة أثناء تصويبها عند مستوى دالة إحصائية (٠,٠٠٠) وهي دالة إحصائية.

جدول (٧)

الخطوة النهائية للتحليل المنطقي لانحدار سرعات الطرف العلوي (رأس، جذع، يد يمنى، يد يسرى) في اتجاه المركبين الأفقي والرأسي ومحصلتيهما على سرعة الرجل اليمنى الضاربة خلال مرحلة وضع الرجل الثابتة بجوار الكرة أثناء ركل الكرة من الثبات

نسبة المساهمة	الدالة الإحصائية	قيمة (ت) المسوبية	درجات الحرية	معامل الخطأ المعياري	معامل الانحدار الجزئي	المتغيرات
	.	.		٠,٠٠٠	٣١٨٣,١٥٧	المقدار الثابت
	.	.		٠,٠٠٠	٤٢,٣١٨	$V_{x\text{head}3}$
	.	.		٠,٠٠٠	٤,٢٤٧	$V_{y\text{head}3}$
٠,٩٦	.	.		٠,٠٠٠	٥١,١٢١-	$V_{R\text{head}3}$
	.	.		٠,٠٠٠	٣٠,٦٨٢-	$V_{x\text{trunk}3}$
	.	.		٠,٠٠٠	٦,٣٦٩	$V_{y\text{trunk}3}$
	.	.		٠,٠٠٠	٢٦,٨٨١-	$V_{R\text{trunk}3}$
٠,١١٢	.	.		٠,٠٠٠	٦,٧٢٦-	$V_{x\text{hand}R3}$
	.	.		٠,٠٠٠	١٧,١٩٥-	$V_{y\text{hand}R3}$
	.	.		٠,٠٠٠	١٢,٨٥٤	$V_{R\text{hand}R3}$
٠,٦٦٢	.	.		٠,٠٠٠	٧,٨٨٣-	$V_{y\text{hand}L3}$
	.	.		٠,٠٠٠	٣,٨٠٥-	$V_{R\text{hand}L3}$
٠,١٣٠	.	.		المجموع		
١,٠٠						

يوضح الجدول (٧) أن ($V_{R\text{hand}R3}$) و($V_{y\text{hand}R3}$) و($V_{x\text{hand}R3}$) أكثر متغيرات الطرف العلوي مساهمة في سرعة القدم المثبتة بجوار الكرة لحظة تصويبها حيث بلغت نسبة مساحتها (٠,٦٦٢) تليها ($V_{y\text{ahdnL3}}$) و($V_{R\text{hand}L3}$) مساهمة في سرعة القدم المثبتة بجوار الكرة لحظة تصويبها حيث بلغت نسبة مساحتها معاً (٠,١٣٠) تليها ($V_{R\text{trunk}3}$) و($V_{y\text{trunk}3}$) و($V_{x\text{trunk}3}$) مساهمة في سرعة القدم المثبتة بجوار الكرة لحظة تصويبها حيث بلغت نسبة مساحتها معاً (٠,١١٢) تليها ($V_{x\text{head}3}$).

مساهمة في سرعة القدم المثبتة بجوار الكرة لحظة تصويبها (Vyhead3)، ($V_{R\text{head}3}$) بالقدم اليمنى بلغت ١٠٠٪.

وتصبح بذلك المعادلة التنبؤية للتنبؤ بسرعة القدم المثبتة بجوار الكرة لحظة تصويبها بالقدم بدلالة سرعات الطرف العلوي المساهمة فيها هي :

$$\text{سرعة القدم المثبتة بجوار الكرة لحظة تصويبها بالقدم اليمنى} = ٤٢,٣١٨ + ٣١٨٣,١٥٧$$

$$- ٣٠,٦٨٣ - (V_{R\text{head}3}) ٥١,١٢١ - (Vyhead3) ٤,٢٤٧ + (Vxhead3)$$

$$- ٦,٧٢٦ - (V_{R\text{trunk}3}) ٢٦,٨٨١ + (Vytrunk3) ٦,٣٦٥ + (Vxtrunk3)$$

$$- (V_{R\text{handR}3}) ٢,٨٥٤ + (VyhandR3) ١٧,١٩٥ - (VxhandR3)$$

$$(V_{R\text{handL}3}) ٣,٨٠٥ - (VyhandL3) ٧,٨٨٣$$

جدول (٨)

مصفوفة الارتباط البسيط بين سرعات كل من الرأس، والجذع، واليد اليمنى، واليد اليسرى (للطرف العلوى) فى اتجاه كلا المركبتين الرأسية والأفقية ومحصلةهما كدالة بالنسبة للزمن وسرعة الرجل اليمنى الضاربة للكرة لحظة ركل القدم لكرة القدم من الثبات

ن = ١٢

V_R leg R4 m/s	V_R hand R4 m/s	V_y hand R4 m/s	V_x hand R4 m/s	V_R hand L4 m/s	V_y hand L4 m/s	V_x hand L4 m/s	V_R trunk4 m/s	V_y trunk4 m/s	V_x trunk4 m/s	V_R head4 m/s	V_y head4 m/s	V_x head4 m/s	المتغيرات
٠,٣٩٤	٠,٣٩٢	٠,٣٩٣	٠,٣٩٣	٠,٣٩٤	٠,٣٩٤	٠,٣٩٣	٠,٣٩٣	٠,٣٩٤	٠,٣٩٣	٠,٣٩٤	٠,٣٩٣	٠,٣٩٣	V_x head4
٠,٣٩٣	٠,٣٩٤	٠,٣٩٣	٠,٣٩٣	*	٠,٣٩٣	٠,٣٩٣	٠,٣٩٣	٠,٣٩٣	٠,٣٩٣	٠,٣٩٣	٠,٣٩٣	٠,٣٩٣	V_y head4
٠,٣٩٣	٠,٣٩٣	٠,٣٩٣	٠,٣٩٣	٠,٣٩٣	٠,٣٩٣	٠,٣٩٣	٠,٣٩٣	*	٠,٣٩٣	٠,٣٩٣	٠,٣٩٣	٠,٣٩٣	V_R head4
٠,٣٩٣	٠,٣٩٣	٠,٣٩٣	٠,٣٩٣	٠,٣٩٣	٠,٣٩٣	٠,٣٩٣	٠,٣٩٣	٠,٣٩٣	٠,٣٩٣	٠,٣٩٣	٠,٣٩٣	٠,٣٩٣	V_x trunk4
٠,٣٩٣	٠,٣٩٣	٠,٣٩٣	٠,٣٩٣	٠,٣٩٣	٠,٣٩٣	٠,٣٩٣	٠,٣٩٣	٠,٣٩٣	٠,٣٩٣	٠,٣٩٣	٠,٣٩٣	٠,٣٩٣	V_y trunk4
٠,٣٩٣	٠,٣٩٣	٠,٣٩٣	٠,٣٩٣	٠,٣٩٣	٠,٣٩٣	٠,٣٩٣	٠,٣٩٣	٠,٣٩٣	٠,٣٩٣	٠,٣٩٣	٠,٣٩٣	٠,٣٩٣	V_R trunk4
٠,٣٩٣	٠,٣٩٣	٠,٣٩٣	٠,٣٩٣	٠,٣٩٣	٠,٣٩٣	٠,٣٩٣	٠,٣٩٣	٠,٣٩٣	٠,٣٩٣	٠,٣٩٣	٠,٣٩٣	٠,٣٩٣	V_x hand L4
٠,٣٩٣	٠,٣٩٣	٠,٣٩٣	٠,٣٩٣	٠,٣٩٣	٠,٣٩٣	٠,٣٩٣	٠,٣٩٣	٠,٣٩٣	٠,٣٩٣	٠,٣٩٣	٠,٣٩٣	٠,٣٩٣	V_y hand L4
٠,٣٩٣	٠,٣٩٣	٠,٣٩٣	٠,٣٩٣	٠,٣٩٣	٠,٣٩٣	٠,٣٩٣	٠,٣٩٣	٠,٣٩٣	٠,٣٩٣	٠,٣٩٣	٠,٣٩٣	٠,٣٩٣	V_R hand L4
٠,٣٩٣	٠,٣٩٣	٠,٣٩٣	٠,٣٩٣	٠,٣٩٣	٠,٣٩٣	٠,٣٩٣	٠,٣٩٣	٠,٣٩٣	٠,٣٩٣	٠,٣٩٣	٠,٣٩٣	٠,٣٩٣	V_x head4
٠,٣٩٣	٠,٣٩٣	٠,٣٩٣	٠,٣٩٣	٠,٣٩٣	٠,٣٩٣	٠,٣٩٣	٠,٣٩٣	٠,٣٩٣	٠,٣٩٣	٠,٣٩٣	٠,٣٩٣	٠,٣٩٣	V_y head4
٠,٣٩٣	٠,٣٩٣	٠,٣٩٣	٠,٣٩٣	٠,٣٩٣	٠,٣٩٣	٠,٣٩٣	٠,٣٩٣	٠,٣٩٣	٠,٣٩٣	٠,٣٩٣	٠,٣٩٣	٠,٣٩٣	V_R head4
٠,٣٩٣	٠,٣٩٣	٠,٣٩٣	٠,٣٩٣	٠,٣٩٣	٠,٣٩٣	٠,٣٩٣	٠,٣٩٣	٠,٣٩٣	٠,٣٩٣	٠,٣٩٣	٠,٣٩٣	٠,٣٩٣	V_x trunk4
٠,٣٩٣	٠,٣٩٣	٠,٣٩٣	٠,٣٩٣	٠,٣٩٣	٠,٣٩٣	٠,٣٩٣	٠,٣٩٣	٠,٣٩٣	٠,٣٩٣	٠,٣٩٣	٠,٣٩٣	٠,٣٩٣	V_y trunk4
٠,٣٩٣	٠,٣٩٣	٠,٣٩٣	٠,٣٩٣	٠,٣٩٣	٠,٣٩٣	٠,٣٩٣	٠,٣٩٣	٠,٣٩٣	٠,٣٩٣	٠,٣٩٣	٠,٣٩٣	٠,٣٩٣	V_R trunk4
٠,٣٩٣	٠,٣٩٣	٠,٣٩٣	٠,٣٩٣	٠,٣٩٣	٠,٣٩٣	٠,٣٩٣	٠,٣٩٣	٠,٣٩٣	٠,٣٩٣	٠,٣٩٣	٠,٣٩٣	٠,٣٩٣	V_x hand R4
٠,٣٩٣	٠,٣٩٣	٠,٣٩٣	٠,٣٩٣	٠,٣٩٣	٠,٣٩٣	٠,٣٩٣	٠,٣٩٣	٠,٣٩٣	٠,٣٩٣	٠,٣٩٣	٠,٣٩٣	٠,٣٩٣	V_y hand R4
٠,٣٩٣	٠,٣٩٣	٠,٣٩٣	٠,٣٩٣	٠,٣٩٣	٠,٣٩٣	٠,٣٩٣	٠,٣٩٣	٠,٣٩٣	٠,٣٩٣	٠,٣٩٣	٠,٣٩٣	٠,٣٩٣	V_R hand R4
٠,٣٩٣	٠,٣٩٣	٠,٣٩٣	٠,٣٩٣	٠,٣٩٣	٠,٣٩٣	٠,٣٩٣	٠,٣٩٣	٠,٣٩٣	٠,٣٩٣	٠,٣٩٣	٠,٣٩٣	٠,٣٩٣	V_R leg R4

تعنى العلامة * أن معامل الارتباط دال إحصائياً عند مستوى (٠,٠٥)

والعلامة ** تعنى أن معامل الارتباط دال إحصائياً عند (٠,٠١)

والعلامة *** أن معامل الارتباط دال إحصائياً عند مستوى (٠,٠١)

يبين جدول (٨) ما يلى :

١ - وجود عدد (٧٨) معامل ارتباط منها عدد (٣٨) معامل ارتباط سالب بنسبة (٨٧,٤٠%)

وعدد (٤٠) معامل ارتباط موجب بنسبة (٢٨,٥٠%).

- ٢ - وجود علاقة طردية بين (V_{Rhead4}) و(V_{xhead4}) خلال لحظة تصويب كرة القدم من الثبات عند مستوى دالة إحصائية ($0,003$) وهي دالة إحصائية.
- ٣ - وجود علاقة طردية بين ($Vyhead4$) وكل من (V_{Rhand4}), ($Vytrunk4$), ($V_{Rtrunk4}$) خلال تصويب كرة القدم من الثبات عند مستوى دالة إحصائية بين ($0,001$), ($0,0025$) وهما دالن إحصائيان.
- ٤ - وجود علاقة عكسية بين ($Vytrunk4$), ($Vxtrunk4$), علاقة طردية بين ($V_{Rtrunk4}$), ($Vxtrunk4$) خلال تصويب كرة القدم من الثبات عند مستوى دالة إحصائية ($0,0000$), ($0,0015$) وهما دالن إحصائيان.
- ٥ - وجود علاقة طردية بين ($Vytrunk4$), ($V_{Rtrunk4}$) خلال تصويب كرة القدم من الثبات عند مستوى دالة إحصائية ($0,037$) وهي دالة إحصائية.
- ٦ - وجود علاقة طردية بين ($V_{Rtrunk4}$), ($VyhandL4$) خلال تصويب كرة القدم من الثبات عند مستوى دالة إحصائية ($0,006$) وهي دالة إحصائية.
- ٧ - وجود علاقة طردية بين ($VxhandR4$) و($V_{RhandR4}$) خلال تصويب كرة القدم من الثبات عند مستوى دالة إحصائية ($0,0000$) وهي دالة إحصائية.
- ٨ - وجود علاقة طردية بين ($VxhandL4$), ($V_{RhandL4}$) خلال تصويب كرة القدم من الثبات عند مستوى دالة إحصائية ($0,038$) وهي دالة إحصائية.

جدول (٩)

الخطوة النهائية للتحليل المنطقي لأنحدار سرعات الطرف العلوي (رأس، جذع، يد يمنى، يد يسرى) في اتجاه المركبين الأفقيه والرأسيه ومحصلتيهما على سرعة الرجل اليمنى
الضاربة لحظة ضربة الكرة بالقدم

ن = ١٢

المتغيرات	معامل الانحدار الجزئي	معامل الانحدار	درجات الحرية	معامل الخطأ المعياري	قيمة (ت) المحسوبة	الدلالة الإحصائية	نسبة المساهمة
العذر الثابت	١٠٣٨,٨٣٩	٠,٠٠٠	١١	٠,٠٠٠	٠	٠	٠
	١٠,٩٩٤	٠,٠٠٠			٠	٠	٠
	١٤,٦٦٩	٠,٠٠٠			٠	٠	٠
	١٣,٤٦٢-	٠,٠٠٠			٠	٠	٠
	٢٢,١٠٦	٠,٠٠٠			٠	٠	٠
	٢٥,١٠٦-	٠,٠٠٠			٠	٠	٠
	٢٥,٨١٩-	٠,٠٠٠			٠	٠	٠
	٢٦,٦٣٣-	٠,٠٠٠			٠	٠	٠
	١٩,١٤١-	٠,٠٠٠			٠	٠	٠
	٢,٧٣١	٠,٠٠٠			٠	٠	٠
	١٩,٨٨٦	٠,٠٠٠			٠	٠	٠
	٢٤,٢٩٠	٠,٠٠٠			٠	٠	٠
	١,٦٩٦-	٠,٠٠٠			٠	٠	٠
المجموع							١,٠٠٠

يوضح جدول (٩) أن (V_RhandR4)، (V_yhandR4)، (V_xhandR4) هي أكثر سرعات الطرف العلوي مساهمه في سرعة القدم الضاربة للكرة لحظة تصويبها من الثبات حيث بلغت نسبة مساحتها معاً في سرعة القدم الضاربة (٠,٣٦٣)، تليها سرعات (V_Rhead4)، (V_yhead4)، (V_xhead4)، (V_Rtrunk4)، (V_ytrunk4)، (V_xtrunk4) مساهمه في سرعة القدم الضاربة لكره القدم لحظة تصويبها حيث بلغت نسبة مساحتها معاً في سرعة القدم الضاربة لكره القدم لحظة تصويبها (٠,٣٥٦). تليها سرعات (V_RhandL4)، (V_yhandL4)، (V_xhandL4) مساهمه في سرعة القدم الضاربة لكره القدم لحظة تصويبها حيث بلغت نسبة مساحتها معاً في سرعة القدم الضاربة لكره القدم لحظة تصويبها (٠,١٨٩). تليها سرعات (V_RhandL4)، (V_yhandL4)، (V_xhandL4) مساهمه في سرعة القدم الضاربة لكره القدم لحظة تصويبها حيث بلغت نسبة مساحتها معاً (٠,٠٩٣).

والجدير بالذكر أن نسبة مساهمة سرعات الطرف العلوي المساهمة مجتمعة ١,٠٠٠ ويشير ذلك إلى أهمية تأثير سرعات الطرف العلوي على سرعة القدم الضاربة لكرة القدم عند تصويبها.

وبذلك تصبح المعادلة التنبؤية للتنبؤ بسرعة القدم اليمني الضاربة لكرة القدم لحظة تصويبها بدلالة سرعات الطرف العلوي المساهمة فيها هي :

$$\begin{aligned} \text{محصلة سرعة الرجل اليمني الضاربة لحظة تصويبها} &= 10,994 + 1038,839 \\ &+ 22,106 + (V_{R\text{head4}}) 13,462 - (V_{y\text{head4}}) 14,669 + (V_{x\text{head4}}) \\ &- (V_{R\text{trunk4}}) 26,633 - (V_{y\text{trunk4}}) 25,819 - (V_{x\text{trunk4}}) \\ &+ 19,886 + (V_{y\text{handR4}}) 2,773 + (V_{x\text{handR4}}) 18,141 \\ &+ (V_{R\text{handL4}}) 1,696 - (V_{y\text{handL4}}) 24,290 + (V_{R\text{handR4}}) \end{aligned}$$

جدول (١٠)

مصفوفة الارتباط البسيط بين سرعات الطرف العلوي (رأس، جذع، يد اليمنى، يد يسرى) في اتجاه كلا المركبين الأفقيه والرأسيه ومحصلتيهما على سرعة الطرف السفلى
(الرجل اليمنى الضاربة) خلال مرحلة متابعة الكرة (المراحل الأخيرة)

ن = ١٢

$V_{x\ leg}$ R5 m/s	$V_{y\ hand}$ 1.5 m/s	$V_{y\ hand}$ 1.5 m/s	$V_x\ hand$ 1.5 m/s	$V_y\ hand$ R5 m/s	$V_x\ hand$ R5 m/s	$V_y\ trunk5$ m/s	$V_y\ trunk5$ m/s	$V_x\ trunk5$ m/s	$V_y\ head5$ m/s	$V_y\ head5$ m/s	$V_x\ head5$ 1m/s	المتغيرات
*	*	*	*	*	*	*	*	*	*	*	*	$V_x\ head5$
-	-	-	-	-	-	-	-	-	-	-	-	$V_y\ head5$
*	*	*	*	*	*	*	*	*	*	*	*	$V_y\ hand5$
-	-	-	-	-	-	-	-	-	-	-	-	$V_x\ hand5$
*	*	*	*	*	*	*	*	*	*	*	*	$V_x\ trunk5$
*	*	*	*	*	*	*	*	*	*	*	*	$V_y\ trunk5$
*	*	*	*	*	*	*	*	*	*	*	*	$V_x\ trunk5$
*	*	*	*	*	*	*	*	*	*	*	*	$V_y\ hand5$
*	*	*	*	*	*	*	*	*	*	*	*	$V_x\ hand5$
*	*	*	*	*	*	*	*	*	*	*	*	$V_x\ leg$ R5
*	*	*	*	*	*	*	*	*	*	*	*	$V_y\ hand5$
*	*	*	*	*	*	*	*	*	*	*	*	$V_x\ hand5$
*	*	*	*	*	*	*	*	*	*	*	*	$V_x\ leg$ R5

تعنى العلامة * أن معامل الارتباط دال إحصائياً عند مستوى (٠,٠٥)

والعلامة ** تعنى أن معامل الارتباط دال إحصائياً عند (٠,٠١)

والعلامة *** أن معامل الارتباط دال إحصائياً عند مستوى (١,٠٠١)

يبين جدول (١٠) ما يلى :

- وجود عدد (٧٨) معامل ارتباط منها عدد (٢٠) معامل ارتباط سالب بنسبة (%)٦٤,٢٥
- عدد (٥٨) معامل ارتباط موجب بنسبة (%)٣٦.

جدول (١١)

الخطوة النهائية للتحليل المنطقي لأنحدار سرعات الطرف العلوي (رأس، جذع، يد يمنى، يد يسرى) في اتجاه المركبتين الأفقية والرأسمية ومحصلتيهما على سرعة الرجل اليمنى الضاربة خلال مرحلة المتابعة للكرة

$n = 12$

نسبة المساهمة	الدالة الإحصائية	قيمة (ن) المحسوبة	درجات الحرية	معامل الخطأ المعياري	معامل الانحدار الجزئي	المتغيرات
٠,٣٦٥	.	.	١١	٠,٠٠٠	٨١,٥٤٨	المقدار الثابت
	.	.		٠,٠٠٠	٠,٥٤٣	Vx head5
	.	.		٠,٠٠٠	٢,٨٨٥-	Vy head5
	.	.		٠,٠٠٠	١,٤١٣-	Vx head5
	.	.		٠,٠٠٠	١,٢٦٦-	Vx trunk5
	.	.		٠,٠٠٠	٧,٠٦٩-	Vy trunk5
	.	.		٠,٠٠٠	٢,٦٥١	Vx trunk5
	.	.		٠,٠٠٠	٢,٦٣٨	Vy hand R5
	.	.		٠,٠٠٠	٠,٨٩٤-	Vx hand L5
	.	.		٠,٠٠٠	٠,٠٢٣٧	Vy hand L5
٠,٣٥٢	.	.		٠,٠٠٠	١,٨٤٠-	Vy hand L5
٠,٢٧٩	.	.		٠,٠٠٠	١,٨٤٠-	Vy hand L5
٠,١٤	.	.		٠,٠٠٠	١,٨٤٠-	Vy hand L5
١,٠٠				المجموع		

يوضح جدول (١١) أن (Vxhead5)، (Vyhead5) و (Vxhead5)، (Vyhead5) هى أكثر سرعات الطرف العلوي مساهمة فى سرعة القدم الضاربة أثناء مرحلة المتابعة حيث بلغت نسبة مساحتها ٠,٣٦٥ تليها سرعات (Vxtrunk5)، (Vytrunk5)، (Vxtrunk5)، (Vytrunk5) حيث بلغت نسبة مساحتها معاً ٠,٣٥٢، تليها سرعات (VxhandL5)، (VxhandL5)، (VyhandL5)، (VyhandL5) حيث بلغت نسبة مساحتها معاً ٠,٢٧٩، حيث بلغت نسبة مساحتها معاً ٠,١٤.

ثانياً : مناقشة النتائج :

- يوضح جدول (٢) وجود علاقة طردية بين سرعة الرجل اليمني الضاربة والسرعة الأفقية للجذع ومحصلة سرعة الجذع خلال الخطوة الأولى للاقتراب :-
- وجود علاقة طردية بين السرعة في اتجاه المركبة الرئيسية وكل من السرعة في اتجاه المحصلة للرأس.
 - وجود علاقة طردية بين محصلة السرعة للرأس وكل من السرعة الأفقية والرئيسية للجذع.
 - وجود علاقة طردية بين السرعة الأفقية للجذع ومحصلة السرعة للجذع.
 - علاقة طردية بين السرعة الرئيسية للجذع ومحصلة سرعة الجذع.
 - علاقة طردية بين السرعة الأفقية لليد اليمنى ومحصلة سرعة اليد اليمنى.
 - علاقة طردية بين السرعة الرئيسية لليد اليمنى والسرعة الأفقية لليد اليسرى وأيضاً وجود علاقة عكسية بين محصلة سرعة الجذع ومحصلة سرعة اليد اليمنى.
 - وجود علاقة عكسية بين محصلة سرعة الرأس ومحصلة سرعة اليد اليمنى وباقى المتغيرات.

وتنقق هذه النتائج مع ما اشار إليه جون ونورثبيس وآخرون Jon, Northpis et al. (١٩٨٣م) وجارجانتين وآخرون Garganten J. et al (١٩٩٨م) بان أسلوب ركل الكرة تتضمن حركات دائرية قوية في منطقة الحوض والمنطقة الصدرية والقطنية (الجذع) وهذا الدوران أثناء مرحلة الاقتراب والمرجحة للذراعين في المستوى الرأسى والأفقي ضرورية لإحداث شد في المجموعات العضلية المؤدية للحركة، كما أن اللاعب يحدث له دوران جانبي أيمن ودوران عرضي أيسر لمنطقة الحوض. وكذلك دوران عرضي أيمن بسيط في المنطقة الصدرية والقطنية وتكون هذه الدورانات تعادل الشكل المثالي لمهارة ضرب الكرة بالقدم، واستخدام التأثير الفعال لمنطقة الجذع (الحوض) والرأس وحركة الذراعين وتكون النتيجة النهائية لعزم الدوران والعزم المضاد لحركة الذراعين دفع قوى للحركة. (٢٦ : ٢٤٧)، (٢٢ : ٢٦٥)

وأحمد خاطر (١٩٩٧م) الذى يشير إلى أن النواهى البيوميكانيكية لجميع أجزاء الجسم تبدأ من اللحظة التى ترتكز فيها الرجل الثابتة على الأرض وبجوار الكرة ثم الانتقال الحركى للرجل الضاربة خلافاً فى بداية المزحة الإيجابية تتطلب انسيابية فى حركة أجزاء الجسم. (٢٥-١٤)

ويضيف كل من جون ونورثبيس وأخرون *Jon, Northpis et al.* (١٩٨٣م) بأن النقل في حركات مفصلى الحوض والركبة تحدث بشكل واضح خلال مراحل أداء الضربة، حيث يحدث أقصى انتشاء في مفصل الرجل الضاربة بسرعة قصوى من خلال المحافظة على السرعة الزاوية بالإضافة إلى حدوث التبعيد لمفصل الحوض، ومساعدة حركة الذراعين ومساهمتها في المحافظة على الاتزان وزيادة عزم القصور الذاتي في المنطقة القطنية (الجذع) يؤدى إلى حدوث دوران كبير، وكلما زادت حركة التبعيد السريعة للكتف الأيمن (المصوب بالرجل اليمنى) يساعد ذلك على إحداث دوران عرضي للجهة اليمنى للمنطقة الصدرية للجذع. وبالتالي مرحلة الذراعين للخلف يحدث تبعيد لمفصل الكتف الأيمن ثم تحريكه للأمام حيث يتم الحصول على الاستفادة الكاملة من هذا الدوران. (٢٦٢-٢٦٨ : ٢٦)

وطه إسماعيل وأخرون (١٩٩٣م)، وحسن شاكر (١٩٩٥م) على أن مهارات كرة القدم تتسم بالسیولة والانسیابية والتداخل بين جميع أجزاء الجسم أثناء الأداء. (١٢ : ٢٠)، (٨ : ١٣)

وJarjantsev وآخرون Garganta J. et al (١٩٩٨م) أن السرعة الأفقية التي يكتسبها اللاعب أثناء الاقتراب في أداء الضربة يعود إلى سرعة مرحلة الرجل الضاربة. (٢٦٢ : ٢٢)

وجمال علاء الدين (١٩٧٩م) بأن انطلاق الكرة يعتمد على سرعة أجزاء الجسم في مراحل الأداء وعلى مقدار الدفع الصادم للجسمين المتصادمين. (٦ : ١١٦)

ويرى محمد خالد حمودة (١٩٨٢م) أن اشتراك وصلات الجسم بالسرعة الكيفية المناسبة عند أداء مراحل الأداء الفنى للتوصيب يعمل على توافر عنصرين هامين لنجاح المهارة وهي دقة التوصيب وقوتها ويمكن الاستدلال على قوة التوصيبية بمعنومية سرعة انطلاق الكرة المصوبة. (٤ : ٢٥-٣٢)

من خلال ما سبق يتضح العلاقة الطردية بين أجزاء الطرف العلوي (سرعة الرأس والسرعة الأفقية للجذع والسرعة الرأسية للجذع ومحصلة سرعة الجذع) حيث أن الجذع يمثل عامل جوهري في تحقيق سرعة انطلاق عالية تستفيد منها الرجل الضاربة. وجود العلاقة بين السرعة الأفقية لليد اليمنى ومحصلة سرعة اليد اليمنى والسرعة الأفقية لليد اليسرى نتيجة لحركة التباعد السريع للكتف الأيمن ودوران عرضي للجهة اليمنى للمنطقة الصدرية وهذا يؤدي إلى مرحلة الذراع اليمنى سريعاً للخلف والذراع اليسرى عكسها للاستفادة القصوى من هذا الدوران في مرحلة الاقتراب لتحقيق قوة دفع للرجل الضاربة.

وكانت أكثر الأجزاء مساهمة في الطرف العلوي هي السرعة الأفقية للجذع والسرعة الرأسية ومحصلة السرعة للجذع تليها السرعة الأفقية والرأسية ومحصلة السرعة للرأس ثم السرعة الأفقية والراسية ومحصلة السرعة لليد اليمنى، حيث تمثل الحركات الدائرية القوية في منطقة الحوض والمنطقة الصدرية والقطنية والتبعيد للكتف الأيمن وتحريك الرأس متبعاً بتحريك مركز الثقل كل هذا في مرحلة الاقتراب لإحداث شد في المجموعات العضلية المؤدية والتي تمثل الشكل المثالي لمهارة ركل الكرة والتأثير الفعال للرأس والجذع والذراعين لعزوم الدوران والعزم المضاد يمثل قوة إضافية ضاربة بجانب الانتقال الحركي للرجل الضاربة خلفاً، والعضلات الخلفية لكل من الفخذ والساقي وتنبيت مفصل القدم تحقق الدفع في بداية المرحلة الإيجابية للاقتراب.

وبذلك يتحقق جزء من الفرض الثاني للبحث حيث اختلفت نسبة مساهمة الطرف العلوي في الطرف السفلي في مرحلة الاقتراب فكانت على التوالي السرعة الأفقية والرأسية ومحصلة السرعة للجذع (٥٢١)، ثم السرعة الأفقية والراسية ومحصلة سرعة الرأس (٤٠٨)، ثم السرعة الأفقية والراسية ومحصلة السرعة لليد اليمنى (٦٥).

ويوضح جدول (٤) مصفوفة الارتباط البسيط بين سرعات الطرف العلوي (رأس، جذع، يد يمنى، يد يسرى) في اتجاه السرعة الرأسية والأفقية ومحصلتيهما على سرعة الطرف السفلى (الرجل اليمنى الضاربة) خلال الخطوة الثانية من الاقتراب أثناء ركل الكرة من الثبات لوجود العلاقات الطردية والعكسية الآتية :

- وجود علاقة طردية بين سرعة الرجل اليمنى الضاربة للكرة خلال الخطوة الأخيرة للاقتراب وبين محصلة السرعة لليد اليمنى.
- وجود علاقة طردية بين السرعة الأفقية للرأس والسرعة الأفقية لليد اليمنى.
- وجود علاقة طردية بين محصلة السرعة للرأس والسرعة الرأسية للحوض.
- وجود علاقة طردية بين السرعة الأفقية للحوض والسرعة الرأسية للحوض.
- وجود علاقة طردية بين السرعة الرأسية للحوض والسرعة الرأسية والأفقية لليد اليمنى.
- وجود علاقة طردية بين السرعة الرأسية والأفقية لليد اليمنى ومحصلة السرعة لليد اليمنى.
- وجود علاقة طردية بين السرعة الأفقية لليد اليسرى ومحصلة السرعة لليد اليسرى.
- وجود علاقة عكسية بين السرعة الأفقية للرأس ومحصلة السرعة لليد اليمنى.
- وجود علاقة عكسية بين السرعة الرأسية للرأس ومحصلة السرعة للرأس.
- وباقى المتغيرات لا يوجد بينها علاقة دالة إحصائياً.

حيث تتفق نتائج هذه الدراسة مع كل من جون نورثيبس وآخرون Jon Northips et al. (١٩٨٣م)، وجراجانتا وآخرون Garganta et al. (١٩٩٨م)، وأحمد خاطر (١٩٧٩م)، وجمال علاء الدين (١٩٧٩م)، محمد عبد السلام (١٩٨٧م)، ومحمود أبو العينين (١٩٨٩م)، حسن أبو عبدة (١٩٨٥م)، بسطويسى أحمد (١٩٩٦م)، وعادل عبد

البصیر (١٩٩٨م)، وجمال علاء الدين (٢٠٠٠م) أن الخصائص الکینماتیکیة تتيح إمكانیة التعرف على دراسة العلاقات والمقارنات لأبعاد الجسم ووصلاته والتآثر الحركی بين المجموعات العضلية.

ويؤكد عمرو أبو المجد (١٩٩٦م) أن الضربة بالقدم من أقوى أنواع الضربات والأكثر فاعلیة (١١ : ١٩٢)، وهذا ما تتحققه نتائج الدراسة في وجود علاقات طردية متعددة بين سرعة الرجل اليمني الضاربة وسرعة اليد اليمني لأن حركة التبعید لمفصل الكتف الأيمن للخلف ثم الأمام متتابع بحركة اليد اليمني ثم الانتقال الحركی للرجل الضاربة خلفا في مرحلة الاقتراب والذي يتحقق بواسطة العضلات الخلفية لكل من الفخذ والساک ومدى إيجابیة اشتراكهم، ثم تحريك أجزاء الرجل الضاربة من الخلف وللأمام وتثبت مفصل القدم يفسر العلاقة الطردية بين زيادة عزم دوران اليد اليمني يتبعه تحريك الكتف الأيمن ثم عزم دوران الحوض متتابع بحركة الرجل الضاربة لتحقيق قوة إضافیة تتبعه للنقل بين السرعة الأفقیة والرأسیة للرأس والسرعة الأفقیة والراسیة للجذع والسرعة الرأسیة والأفقیة لليد اليمنی واليد اليسرى وسرعة الرجل الضاربة للاستفادة القصوى من أجزاء الجسم ينتج عنه تأثير فعال لحظة الاصطدام بالكرة.

بالإضافة للعلاقات الطردية والعکسیة بين أجزاء الطرف العلوي للجسم والطرف السفلی للجسم أثناء مراحل أداء ركل الكرة اختلفت أيضاً نسبة مساهمة أجزاء الطرف العلوي في الطرف السفلی في الخطوة الثانية للاقتراب جدول (٥) فكانت كالتالي: السرعة الأفقیة والراسیة لليد اليمنی أكثر الأجزاء مساهمة في الخطوة الثانية للاقتراب (٠٠٤١٧) في سرعة الرجل الضاربة ثم السرعة الأفقیة والراسیة ومحصلة السرعة للرأس (٠٠٣٦٨) في سرعة الرجل الضاربة، ثم السرعة الأفقیة والراسیة ومحصلة السرعة للجذع (٠٠١٢٩) في سرعة الرجل الضاربة والسرعة الرأسیة والأفقیة ومحصلة السرعة لليد اليسرى (٠٠٠٨٧) في سرعة الرجل الضاربة.

ويرجع التباين في نسبة مساهمة السرعات لليد اليمنی عن سرعات الجذع والرأس واليد اليسرى في الخطوة الثانية للاقتراب وأيضاً الخطوة الأولى من الاقتراب لزيادة مدى

حركة التبعيد السريعة للكتف الأيمن وسرعة حركة اليد اليمنى ساعد ذلك على زيادة سرعة الدوران العرضي للجهة اليمنى للمنطقة الصدرية ثم النقل الحركى للمنطقة القطنية ثم دوران عرضي أيسير لمنطقة الحوض، ثم تزايد حركة القصور الذاتى للجسم فى الوقت الذى تبدأ فيه مرحلة الرجل الضاربة اليمنى للخلف لحظة وضع قدم الارتكاز بجوار الكرة وتحريك مركز الثقل عليها، المسارات الحركية لكل الأجزاء تحدث فى تسلسل سريع لتلتقي فى الرجل الضاربة وبالتالي عند تثبيت مفصل القدم لحظة الاصطدام.

- واختلفت نسبة معاملات الارتباط بين سرعات الطرف العلوي مع الطرف السفلى خلال مرحلة وضع الرجل الثابتة بجوار الكرة كما يوضحها جدول (٦) :
- وجود علاقة طردية بين السرعة الأفقية للرأس ومحصلة سرعة الرأس.
- وجود علاقة طردية بين السرعة الرئيسية للرأس والسرعة الرئيسية لليد اليمنى خلال وضع القدم بجوار الكرة.
- وجود علاقة طردية بين السرعة الأفقية للحوض ومحصلة سرعة الحوض والسرعة الأفقية لليد اليسرى ومحصلة سرعة اليد اليسرى.
- وجود علاقة طردية بين محصلة سرعة الحوض والسرعة الأفقية لليد اليسرى ومحصلة سرعة اليد اليسرى أثناء وضع قدم الارتكاز بجوار الكرة.
- وجود علاقة طردية بين السرعة الأفقية لليد اليمنى ومحصلة سرعة اليد اليمنى.
- وجود علاقة طردية بين السرعة الأفقية لليد اليسرى ومحصلة سرعة اليد اليسرى خلال مرحلة وضع قدم الارتكاز بجوار الكرة.
- وجود علاقة عكسية بين السرعة الأفقية للرأس والسرعة الرئيسية للحوض ومحصلة سرعة الحوض.
- وجود علاقة عكسية بين محصلة سرعة الرأس والسرعة الأفقية للحوض.
- وجود علاقة عكسية بين محصلة سرعة الحوض والسرعة الرئيسية لليد اليمنى لحظة تثبيت القدم اليسرى بجوار الكرة عند تصويبها.

والتصويب الجيد فى رأى آلن ويد Allen Wad (١٩٨٢م) هو فى الحقيقة حركة طويلة وقوية وسريعة ومرتفعة للرجل والقدم الضاربة فإذا لم يؤديها اللاعب بالسرعة

والقوة والارتفاع وطبقاً لمعدلات كمية (مؤشرات رقمية - نسب مؤوية) فلن ينجح في تحقيق تصويب طويل المدى . (٢٠ : ٢٧-٢٨)

ويضيف محمد عبده صالح ومفتى إبراهيم (١٩٨٥ م) أن ركل الكرة بالقدم من الركلات المميزة بالقوة والمدى البعيد لصلابة الجزء العلوي المستعمل من القدم، وتسطعه بالإضافة إلى اتساع المدى الذي تتحرك خلاله الرجل الضاربة في أقل زمن لحظة الاصدام . (١٦ : ١٦-١٧)

ويوضح نيل سيدويك Neil Sedgwick (١٩٩٨ م) أن تتجه الرأس إلى أسفل وتنظر العينان لأسفل نحو اتجاه الكرة ويميل الجذع قليلاً للأمام وتكون الذراعان مرفوعتين جانبياً وتأخذان وضعاً طبيعياً للمحافظة على الاتزان وركبة الرجل غير الضاربة تثني قليلاً لحمل وزن الجسم فوق الكرة ولتدعم اتزان الجسم ومفصل الفخذ فوق القدم الضاربة لحظة الاصدام . (٤٤ : ٣٠)

واختلفت نسبة مساهمة سرعة أجزاء الطرف العلوي في سرعة الطرف السفلي في مرحلة وضع القدم الثابتة بجوار الكرة كما يوضحها جدول (٧) فكانت السرعة الأفقية والرأسية ومحصلة سرعة اليد اليمنى أكثر الأجزاء مساهمة (٠,٦٦٢) في سرعة الطرف السفلي في هذه المرحلة ثم السرعة الأفقية والراسية ومحصلة السرعة لليد اليسرى (٠,١٣٠) في سرعة الرجل الضاربة والسرعة الأفقية والراسية ومحصلة سرعة الجذع (٠,١١٢) في سرعة الرجل الضاربة وجاءت السرعة الأفقية والراسية ومحصلة السرعة للرأس أقل الأجزاء مساهمة (٠,٠٩٦) في سرعة الرجل الضاربة، وهذا يتفق مع مراحل الأداء حيث تأتي اليد اليمنى بعد حركة التبعيد للكتف وحركة اليد اليسرى العكسية بجوار الجسم لحفظ التوازن والاستفادة من عزم دورانهم ثم يأتي وضع الجذع بعد الدوران العرضي للمنطقة الصدرية والقطنية ليميل قليلاً إلى الأمام من مفصل الحوض لحظة الاصدام القدم ليحدد مستوى ارتفاع الكرة، ثم تأتي مرحلة الاحتفاظ بثبيت الرأس إلى أسفل حتى لحظة الاصدام بالكرة وهذا يتفق مع نتائج مرحلة وضع القدم الثابتة بجوار الكرة.

وأظهر جدول (٨) معاملات الارتباط بين أجزاء الطرف العلوي (رأس، جذع، يد اليمنى، يد يسرى)، والطرف الس资料 فى كلا المركبتين الأفقية والرأسية ومحصلتها لحظة ركل الكرة بالقدم (الاصطدام) من الثبات إلى وجود :

- علاقة طردية بين السرعة الأفقية للرأس ومحصلة سرعة الرأس لحظة الاصطدام بالكرة.
- وجود علاقة طردية بين السرعة الرأسية للرأس والسرعة الرأسية للحوض ومحصلة سرعة اليد اليمنى لحظة اصطدام الرجل الضاربة بالكرة.
- وجود علاقة طردية بين المحصلة الرأسية للحوض ومحصلة سرعة الحوض.
- وجود علاقة طردية بين المحصلة الرأسية للحوض ومحصلة سرعة الحوض.
- وجود علاقة طردية بين محصلة سرعة الحوض والسرعة الرأسية لليد اليسرى.
- وجود علاقة طردية بين السرعة الأفقية لليد اليمنى ومحصلة السرعة لليد اليمنى.
- وجود علاقة طردية بين السرعة الأفقية لليد اليسرى ومحصلة اليد اليسرى.
- وجود علاقة عكسية بين السرعة الأفقية للحوض ومحصلة سرعة الحوض لحظة اصطدام الرجل الضاربة بالكرة.

حيث يوضح كل من جون نورثيپس وأخرون Jon Northips et al. (١٩٨٣) وجراحتنا وأخرون Garganta et al. (١٩٩٨)، ونيل سيدويك Neil Sedgweick (١٩٩٨) أن النواحي البيوميكانيكية تبدأ من اللحظة التي ترتكز فيها الرجل الثابتة على الأرض بجوار الكرة والتي تتحقق الدفع القوى، ثم الانتقال الحركي للرجل الضاربة خلفاً في بداية المرحلة الإيجابية والذي يتحقق بواسطة العضلات الخلفية لكل من الفخذ والساقي ومدى إيجابية اشتراكهم، ثم تبدأ فرملة وتنبيت الفخذ لحركته، وتقوم العضلة ذات الأربع رؤوس الفخذية دوراً إيجابياً في تحويل وصلة الفخذ للأمام، والعضلة القصبية الأمامية تثبت مفصل القدم مما يسبب انتقال الساق والقدم بسرعة عالية إلى الأمام. (٢٤٧ : ٢٦٥)، (٢٦٠ : ٢٤٧)، (٣٠ : ٤٠)

ويشير إيكستراند Ekstrand J. L. (١٩٩٨) إلى أن السرعة الأفقية التي يكتسبها اللاعب قبل أداء الضربة يؤدي إلى سرعة مرحلة الرجل الضاربة وبالتالي قوتها والانسياب في الخطوات الأخيرة قبل أداء يؤدي بدوره إلى ارتفاع العضلات وانساع الشعيرات الدموية

وامتلانها بالدماء مما يعمل على زيادة وزنها الذى يمثل قوة إضافية ضاربة بجانب القوى الأخرى. (٢٤ : ١٥٠)

ويؤكد جون وريفز John A. Reeves (١٩٩١م) أن طول الخطوة الأخيرة ي العمل على زيادة مرجحة الرجل الضاربة وبالتالي زيادة قوتها. (٢٧ : ٩٨)

ما سبق يتضح تزايد النقل الحركى بين العضلات فى الطرف العلوى للجسم وأيضاً العضلات المشتركة فى الأداء للطرف السفلى سواء للرجل الضاربة أو الرجل الثابتة توضح توجيهه مسار السرعة والقوة بين الأجزاء المختلفة لتحقيق أكبر استفادة من عملية النقل الحركى وهذا ما توضّحه العلاقات الطردية بين أجزاء الجسم فى الطرف ثم الطرف السفلى لجسم خلال مرحلة الاصطدام.

ويوضح جدول (٩) اختلاف نسب مساهمة أجزاء الجسم العلوى فى سرعة الطرف السفلى للجسم فجاءت السرعة الأفقية والرأسية لليد اليمنى أكثر المتغيرات مساهمة فى سرعة الطرف السفلى (الرجل الضاربة) (٣٦٣، ٠٠) ثم السرعة الأفقية والراسية ومحصلة السرعة للرأس (٣٥٦، ٠٠) مساهمة فى سرعة الطرف السفلى للجسم لحظة الاصطدام بالكرة ثم السرعة الأفقية والراسية ومحصلة السرعة للوحظ (١٨٩، ٠٠) فى سرعة الطرف السفلى لحظة الاصطدام بالكرة، ثم السرعة الأفقية والراسية لليد اليسرى كانت (٩٢، ٠٠) فى سرعة الطرف السفلى لحظة الاصطدام بالكرة.

يتتفق هذا مع جون نورثيبس وآخرون Jon Northips et al. (١٩٨٣م) كلما زادت حركة التبعيد السريعة للكتف الأيمن (للمصوب بالرجل اليمنى) وبالتالي الذراع اليمنى يساعد ذلك على إحداث دوران عرضى للجهة اليمنى للمنطقة الصدرية والجذع وبالتالي مرجحة الذراع لخلف يحدث تبعيد لمفصل الكتف الأيمن ثم تحريكه للأمام حتى يتم الحصول على الاستفادة القصوى من هذا الدوران فى مرحلة الاصطدام. (٢٦)

ولتزاياد النقل الحركى بين الوصلات تشتراك العضلات ايضاً فتشبت الرأس والنظر إلى أسفل من عضلات الرقبة والكتف وميل الجذع الابتدائى للأمام من عضلات الظهر الذى يعتبر تمهيد للحركة الأمامية للرجل الضاربة، وقابضات الفخذ وباسطات الركبة للرجل الضاربة، وانتقال مركز الثقل إلى الأمام وخارج القدم المتمركزة لحظة الاصطدام من خلال ميل الجذع للأمام ووضع الذراعين بالجانب، وصلابة القدم الضاربة وسرعتها هما متغيران مشتركان فى إحداث سرعة الكرة، ودوران القدم الضاربة حول المحور العرضى يعطيها أكبر نسبة من القوة لحظة الاصطدام هذه القوة متولدة عن طريق كل جزء من أجزاء الجسم سواء الطرف العلوى أو الطرف السفلى.

مما سبق ومن النتائج الإحصائية لدراسة العلاقات بين الأجزاء بعضها البعض وأهمية كل جزء فى كل مرحلة من مراحل الأداء الفنى لمهارة ركل الكرة جاءت النسبة مختلفة لكنها تعمل فى ايقاع واحد وأن اللاعب الذى يفتقر إلى جانب من جوانب الأداء المهاوى سواء كانت من الثبات أو الحركة فى ظل اللعب الحديث للكرة العالمية التى تتسم بالسرعة والقوة يصبح غير مؤهل للقيام بمتطلبات كرة القدم الحديثة التى تلقى على عاته مهام الاشتراك فى مكونات العمل الخططى من موافق ثابتة أو متعددة باتفاق، وفي ظل التغيرات والتطورات التى حدثت فى مهارات كرة القدم المركبة أو المنفردة من حيث السرعة والقوة وتحت ضغط المنافس فى جميع أجزاء الملعب جعل المدرب واللاعب أكثر رؤية وفكراً خططى للاستفادة من جميع أجزاء جسمه لتحقيق أفضل النتائج فى الأداء المهاوى.

كما يوضح جدول (١٠) وجود علاقة طردية بين سرعة الرجل اليمنى الضاربة وكلاً من السرعة الرأسية للحوض والسرعة الرأسية لليد اليمنى والسرعة الأفقية لليد اليمنى والسرعة الرأسية لليد اليسرى والسرعة الأفقية لليد اليسرى خلال مرحلة المتابعة وأيضاً وجود علاقة طردية بين محصلة سرعة الخوض ومحصلة سرعة اليد اليسرى والسرعة الأفقية لليد اليمنى ومحصلة السرعة لليد اليسرى ومحصلة سرعة اليد اليمنى والسرعة الأفقية لليد اليسرى ومحصلة سرعة اليد اليسرى مع سرعة الرجل الضاربة للكرة خلال مرحلة المتابعة.

و جاءت المتغيرات المساهمة في مرحلة المتابعة كما يوضحها جدول (١١) كالتالي :

السرعة الرأسية والأفقية ومحصلة السرعة للرأس أكثر المتغيرات مساهمة تليها السرعة الأفقية والسرعة الرأسية ومحصلة السرعة للذراع ثم السرعة الرأسية والأفقية ومحصلة السرعة لليد اليمنى ثم السرعة الأفقية والراسية لليد اليسرى مساهمة في مرحلة المتابعة.

ومن خلال عرض النتائج السابقة ونتائج مرحلة المتابعة يتضح التسلسل المنطقي للأجزاء المساهمة ابتداء من حركة الرأس ثم اليد اليمنى واليد اليسرى والجذع وكل هذه الأجزاء تشتهر ببعضها لتحقيق التوازن الديناميكي واتزان الجسم بعد انتهاء مرحلة الأداء حتى يتتسنى للاعب أداء مهارة تالية وهذا التوازن يحقق للاعب عدم السقوط على الأرض أو التعرّض.

حيث يؤكد كلاً من جمال علاء الدين (١٩٧٩م)، حسن السيد أبو عبدة (١٩٨٥م)، وحنفى مختار (١٩٩٤م) وبسطويسى احمد (١٩٩٦م) وعادل عبد البصیر على (١٩٩٨م) أن مرحلة المتابعة تعتبر مرحلة تمهدية لأداء مهارة حركية جديدة، لذلك يجب الاستفادة من الاتزان الديناميكي وتوزيع مركز الثقل والقصور الذاتي والنقل الحركي لأجزاء الجسم خلال مراحل الأداء السابقة.

الاستنتاجات :

في ضوء أهداف البحث ومناقشة نتائجه توصل الباحث إلى الاستنتاجات التالية :

١- خصائص الخطوة الأولى (اللاقتراب) :

- أ- تتناسب سرعة الرجل اليمنى الضاربة تتناسب طردياً مع كل من السرعة الأفقية للجذع ومحصلة سرعة الجذع ومحصلة السرعة للرأس والسرعة الرأسية للجذع والسرعة الأفقية لليد اليمنى، ومحصلة سرعة اليد اليمنى، والسرعة الرأسية لليد اليمنى والسرعة الأفقية لليد اليسرى. وأيضاً تتناسب سرعة الرجل اليمنى الضاربة تتناسب عكسياً مع محصلة سرعة الجذع ومحصلة سرعة اليد اليمنى ومحصلة سرعة الرأس.

بـ- وكانت المعادلة التنبؤية بسرعة الرجل اليمني الضاربة خلال الخطوة للأقتراب بدلالة الطرف العلوى = $849,835 + 849,835 \cdot 703$ (السرعة الأفقية للرأس) - $1,939$ (السرعة الرأسية للرأس) - $0,0549$ (محصلة سرعة الرأس) + $0,402$ (السرعة الرأسية للجذع) - $1,917$ (محصلة سرعة الجذع) + $0,996$ (السرعة الأفقية لليد اليمنى) + $0,491$ (السرعة الرأسية لليد اليمنى) - $0,550$ (محصلة سرعة اليد اليمنى) - $0,252$ (السرعة الأفقية لليد اليسرى) - $0,279$ (محصلة سرعة اليد اليسرى)

٢- خصائص الخطوة الثانية (الاقتراب) :

أـ- تتناسب سرعة الرجل اليمني الضاربة للكرة تناسباً طردياً مع محصلة السرعة لليد اليمنى، والسرعة الأفقية للرأس مع السرعة الأفقية لليد اليمنى، ومحصلة السرعة للرأس مع السرعة الرأسية للحوض، والسرعة الأفقية للحوض مع السرعة الرأسية للحوض، وأيضاً تتناسب السرعة الرأسية للحوض مع السرعة الرأسية والأفقية لليد اليمنى، والسرعة الرأسية والأفقية لليد اليمنى مع محصلة السرعة لليد اليمنى، السرعة الأفقية لليد اليسرى مع محصلة السرعة لليد اليسرى تناسباً طردياً. وجود تنااسب عكسي بين السرعة الأفقية للرأس مع محصلة السرعة لليد اليمنى، وتناسب عكسي بين السرعة الرأسية للرأس مع محصلة السرعة للرأس، وباقى المتغيرات لا يوجد بينهم تنااسب عكسي أو فروق دالة.

بـ- المعادلة التنبؤية بسرعة الرجل اليمني الضاربة خلال الخطوة الثانية من الاقتراب بدلالة الطرف العلوى = $21,321 - 2,926 - 1179,723$ (السرعة الرأسية للرأس) - $21,321$ (السرعة الأفقية للرأس) - $6,471$ (محصلة سرعة الرأس) - $9,496$ (السرعة الرأسية للحوض) - $11,373$ (السرعة الرأسية لليد اليمنى) - $1,381$ (السرعة الأفقية لليد اليمنى) - $3,86$ (محصلة سرعة اليد اليمنى) - $1,111$ (السرعة الأفقية لليد اليسرى) - $0,802$ (محصلة سرعة اليد اليسرى).

٣- خصائص مرحلة وضع الرجل الثابتة بجوار الكرة :

أـ- وجود علاقة طردية بين السرعة الأفقية للرأس، ومحصلة سرعة الرأس، وعلاقة طردية بين السرعة الرأسية للحوض والسرعة الرأسية لليد اليمنى، وبين السرعة الأفقية

للحوض ومحصلة سرعة الحوض، والسرعة الأفقية لليد اليسرى ومحصلة سرعة اليد اليسرى، وبين محصلة سرعة الحوض، والسرعة الأفقية لليد اليسرى، ومحصلة سرعة اليد اليسرى، وبين السرعة الأفقية لليد اليمنى ومحصلة السرعة لليد اليمنى والسرعة الأفقية لليد اليسرى ومحصلة سرعة اليد اليسرى. وأيضاً وجود علاقة عكسية بين كل من السرعة الأفقية للرأس مع السرعة الرئيسية للحوض ومحصلة سرعة الحوض والسرعة الرئيسية لليد اليمنى لحظة تثبيت القدم اليسرى بجوار الكرة وكذلك عدم وجود علاقة دالة إحصائياً سواء طردية أو عكسية بين باقي المتغيرات.

بــ المعادلة التنبؤية بسرعة الرجل اليمنى الضاربة لكره القدم أثناء وضع الرجل الثابتة

بجوار الكرة بدلالة سرعات الطرق العلمى :

$$\begin{aligned} \text{سرعة الرجل اليمنى الضاربة أثناء وضع الرجل الثابتة بجوار الكرة} &= 10,38,839 + \\ 10,994 &(\text{السرعة الأفقية للرأس}) + 14,669 (\text{السرعة الرئيسية للرأس}) - 13,462 \\ (\text{محصلة سرعة الرأس}) &+ 22,106 (\text{السرعة الأفقية للجذع}) - 25,819 (\text{السرعة الرئيسية}) \\ \text{للجذع}) &- 21,633 (\text{محصلة سرعة الجذع}) - 19,141 (\text{السرعة الأفقية لليد اليمنى}) \end{aligned}$$

٤ـ خصائص مرحلة لحظة الاصطدام بالكرة :

أـ وجود علاقات طردية بين كل من السرعة الأفقية للرأس مع محصلة سرعة الرأس لحظة الاصطدام بالكرة، السرعة الرئيسية للرأس وكلـ من السرعة الرئيسية للحوض وسرعة اليد اليمنى، وبين السرعة الأفقية للحوض ومحصلة سرعة الحوض، وبين السرعة الرئيسية للحوض والسرعة الرئيسية لليد اليسرى، وأيضاً بين السرعة الأفقية لليد اليمنى ومحصلة السرعة لليد اليمنى، والسرعة الأفقية لليد اليسرى مع محصلة السرعة لليد اليسرى. وجود علاقة عكسية بين السرعة الأفقية للحوض ومحصلة سرعة الحوض لحظة الاصطدام بالكرة ولا يوجد علاقات دالة إحصائياً بين باقي المتغيرات.

بــ المعادلة التنبؤية بسرعة الرجل اليمنى الضاربة لكره لحظة الاصطدام بدلالة سرعات الطرف العلوى المساهمة كالتالى :

$$\begin{aligned} \text{سرعة الرجل اليمنى الضاربة لحظة الاصطدام بالكرة} &= 10,38,839 + 10,994 + 14,669 \\ (\text{السرعة الأفقية للرأس}) &+ 13,462 (\text{محصلة سرعة}) \end{aligned}$$

الرأس) + ٦,١٢٢ (السرعة الأفقية للجذع) - ٢٥,٨١٩ (السرعة الرأسية للجذع) -
 ٢٦,٦٣٣ (محصلة سرعة الجذع) - ١٩,١٤١ (السرعة الأفقية لليد اليمنى) + ٢,٧٣١
 (السرعة الرأسية لليد اليمنى) + ١٩,٨٨٦ (محصلة سرعة اليد اليمنى) + ٢٤,٢٩٠
 (السرعة الرأسية لليد اليمنى) - ١,٦٩٦ (محصلة سرعة اليد اليسرى)

٥- خصائص مرحلة المتابعة :

أ- وجود علاقات طردية بين كل من السرعة الرأسية للحوض والسرعة الرأسية لليد اليمنى والسرعة الأفقية لليد اليمنى والسرعة الرأسية لليد اليسرى، والسرعة الأفقية لليد اليسرى مع سرعة الرجل الضاربة للكرة خلال مرحلة المتابعة ومحصلة سرعة الحوض ومحصلة سرعة اليد اليسرى مع سرعة الرجل الضاربة، والسرعة الأفقية لليد اليمنى ومحصلة السرعة لليد اليمنى مع سرعة الرجل الضاربة، ومحصلة السرعة لليد اليسرى ومحصلة سرعة لليد اليسرى مع سرعة الرجل الضاربة.

ب- اختلاف نسب المساهمة في مرحلة المتابعة بعد ركل الكرة فكانت كالتالي :
 السرعة الرأسية والأفقية محصلة السرعة للرأس أكثر المتغيرات مساهمة (٠,٣٦٥) في مرحلة المتابعة، والسرعة الأفقية والسرعة الرأسية ومحصلة السرعة للجذع (٠,٣٥٢)، ثم السرعة الأفقية والراسية ومحصلة السرعة لليد اليمنى (٠,٢٧٩) ثم جاءت السرعة الأفقية والراسية لليد اليسرى (٠,٠١٤) في مرحلة المتابعة.

النوصيات :

١) نوصيات خاصة :

أ- يوصى باستخدام نتائج الانحدار المتعدد للمتغيرات البيوكونيماتيكية المستقلة ذات الارتباط الأعلى بمستوى الأداء المهارى باعتبارها أكثر المؤثرات أهمية وفعالية لتقدير وترشيد وتوجيه عملية التدريب فى التصويب على المرمى.
 ب- استخدام التوصيف البيوكونيماتيكي لمراحل اداء مهارة ركل الكرة من الثبات عند تعليم وتصحيح الأخطاء للاعبين الناشئين فى كرة القدم.

٢) توصيات عامة :

- أ- الاهتمام ببرامج التدريب عامة وبرامج تدريب الناشئين الخاصة بتحسين قدرات اللاعبين المميزين بالتصويب على المرمى من الثبات.
- ب- يجب الاهتمام بالجانب الخططي الهجومي عامة والتركيز على خطط المواقف الثابتة في كل وحدة تدريبية لكل اللاعبين وخاصة ركل الكرة من الثبات باعتبارها من عناصر الجسم لكثير من المباريات الهامة والتي يتطلب الفوز بها.
- ج- الاسترشاد بنتائج البحث وخاصة في مجال التحليل الحركي للمهارات التي تحسن نتائج المباريات في كثير من البطولات.

قائمة المراجع

أولاً : المراجع العربية :

- ١- ابراهيم مجدى صالح : (١٩٩٩م)، تأثير برامج تدريسي لتنمية بعض متغيرات الإدراك الحس حركى على مهارة التمرير والتصويب لناشئ كرة القدم، مجلة علمية نظريات وتطبيقات، كلية التربية الرياضية بالإسكندرية، جامعة الإسكندرية، العدد .٣٠
- ٢- أحمد خاطر : (١٩٧٩م)، المبادأة والتدريب فى كرة القدم، دار المعارف، القاهرة.
- ٣- أمر الله البساطى : (١٩٩٩م)، دراسة تحليلية لتحديد مكونات المقدرة على الأداء المهاوى فى كرة القدم، مجلة علمية نظريات وتطبيقات، كلية التربية الرياضية بالإسكندرية، جامعة الإسكندرية، العدد .٣١
- ٤- بسطويسى أحمد : (١٩٩٦م)، أساس ونظريات الحركة، ط١، دار الفكر العربي، القاهرة.
- ٥- جمال علاء الدين : (٢٠٠٠م)، الخصائص والمؤشرات البيوميكانيكية لجسم الإنسان وحركته، مجلة علمية، بحث مقبول للنشر، مجاز للترقية، مجلة دراسات وبحوث، كلية التربية الرياضية للبنين بالإسكندرية، جامعة الإسكندرية، العدد .١٧.

- ٦ جمال علاء الدين : (١٩٧٩م)، دراسة بعض المؤثرات الكينماتيكية للضرب في كرة القدم، مجلة علمية بحث مقبول للنشر، مجاز للترقية، مجلة دراسات وبحوث، كلية التربية الرياضية للبنين أبو قير بالإسكندرية، جامعة حلوان.
- ٧ حسن السيد أبو عبدة : (١٩٨٥م)، دراسة تحليلية لتأثير مكان وضع القدمين على سرعة وميكانيكية الجسم أثناء رمية التماس في كرة القدم، مجلة علمية دراسات وبحوث، كلية التربية الرياضية بأبى قير بالإسكندرية، جامعة حلوان، العدد الثاني.
- ٨ حسن شاكر : (١٩٩٥م)، كرة القدم الشاملة، ترجمة بودل، مكتبة الأنجلو المصرية، القاهرة.
- ٩ حنفى محمود مختار : (١٩٩٤م)، الأسس العلمية فى تدريب كرة القدم، ط١، دار الفكر العربي، القاهرة.
- ١٠ عادل عبد البصیر على : (١٩٩٨م)، الميكانيكا الحيوية التكامل بين النظرية والتطبيق فى المجال الرياضى، ط١، مركز الكتاب للنشر، القاهرة.
- ١١ عمرو أبو المجد : (١٩٩٦م)، دراسة تحليلية لأماكن التهديد في مباريات كرة القدم، مجلة علمية، المؤتمر العلمي الثاني، كلية التربية الرياضية، أسيوط، جامعة أسيوط.
- ١٢ طه إسماعيل، عمرو أبو المجد، إبراهيم شعلان : (١٩٩٣م)، جماعية اللعب في كرة القدم، مطبع الأهرام التجارية، القاهرة.

- ١٣ - لوى غانم الصميدعى : (١٩٩٠م)، خاصية نمو السرعة والدقة للضربة لكرة القدم على الهدف للاعبين الشباب ١٦-١١ سنة، وقائع المؤتمر العلمى الثانى، لكليات وأقسام التربية الرياضية فى جامعات قطر.
- ١٤ - محمد خالد حمودة : (١٩٨٢م)، دراسة بيوميكانيكية لبعض أساليب التصويب بالوثب فى كرة اليد، رسالة دكتوراه غير منشورة، كلية التربية الرياضية بالإسكندرية، جامعة حلوان.
- ١٥ - محمد عبد السلام : (١٩٨٧م)، دراسة وصفية حرکية (بيوكينماتيكية) لبعض أساليب تصويب ركلات الجزاء فى كرة القدم، رسالة ماجستير، كلية التربية الرياضية، الإسكندرية، جامعة حلوان.
- ١٦ - محمد عبده صالح، مفتى إبراهيم : (١٩٨٥م)، الإعداد المتكامل للاعبى كرة القدم، القاهرة، دار الفكر العربى، القاهرة.
- ١٧ - محمد رضا الوقاد : (١٩٩٣م)، دراسة تحليلية لمهارة التصويب على المرمى خلال مباريات فرق منتخبات دول الخليج العربية فى كرة القدم، المجلة العلمية للتربية الرياضية فى الوطن العربى، كلية التربية الرياضية، المجلد الثالث.
- ١٨ - محمود أبو العينين : (١٩٨٩م)، التحليل الكينماتيكي لمهارة ضرب الكرة بالرأس من الثبات، مجلة علمية، كلية التربية الرياضية للبنين بالهرم، جامعة حلوان، العدد الأول، يناير.

١٩ - زهير الخشاب،
 معتز يونس،
 مكي محمد حسين
 : (١٩٩٠م)، تحليل بعض النواحي الفنية والخططية
 للفريق العراقي المشارك في بطولة الخليج العربي
 العاشرة لكرة القدم، مجلة علمية، وقائع المؤتمر
 العلمي السادس لكليات وأقسام كليات التربية
 الرياضية، جامعات قطر.

ثانياً : المراجع الأجنبية :

- 20- Allen Wade : (1983), Coach your self soccer. West Yorkshire, Great Britain, E.P. Publishing, L.T.
- 21- David K. Miller : (1996), Measurement by physical educator, Third edition, Library of Congress, North Carolina.
- 22- Garganta, J., Maio, J. And F. Basto : (1998), Analysis of goal scoring patterns of European top level soccer teams, Science and football, E. F.N. Sport, U.S.A.
- 23- Gunter Lammich, Heinz Kadow : (1997), Soccer drills and games techniques. Strategies and physical preparation, 1st ed. Printed in United States.

- 24- J. Ekstrand : (1998), Knee ligament injuries in soccer players. Science and Football, E. F.N. Spon., U.S.A.
- 25- Joan, M. West : (1996), Soccer tactic victor an misery of education, Australia.
- 26- John, W. Northips, Gene, A. Logon, Wayne, C. McKinny : (1985), Analysis of sports motion anatomic and biomechanic perspectives, 3rd ed., W.M.C. Brown Co., Publishers All.
- 27- John A. Reeves, J. Malcolm Simian : (1991), Select soccer drills. Leisure Press Champaign, U.S.A.
- 28- Malcolm Cook : (1997), Soccer coaching and team management, 2nd Black, London.
- 29- Nick Whitehead and Malcolm Cook : (1995), Soccer training games. Drills and fitness practices, 4th ed., New York, N.J.
- 30- Niel Sedgwick : (1998), Performance conditioning for soccer. Volume 4, Number 2, U.S.A.